

Fig. 2-4-17 Geology, SLAR Features, Med-, Short-wavelength Gravity (Area E)

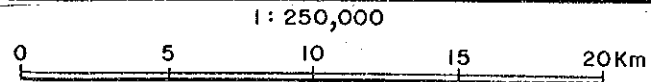
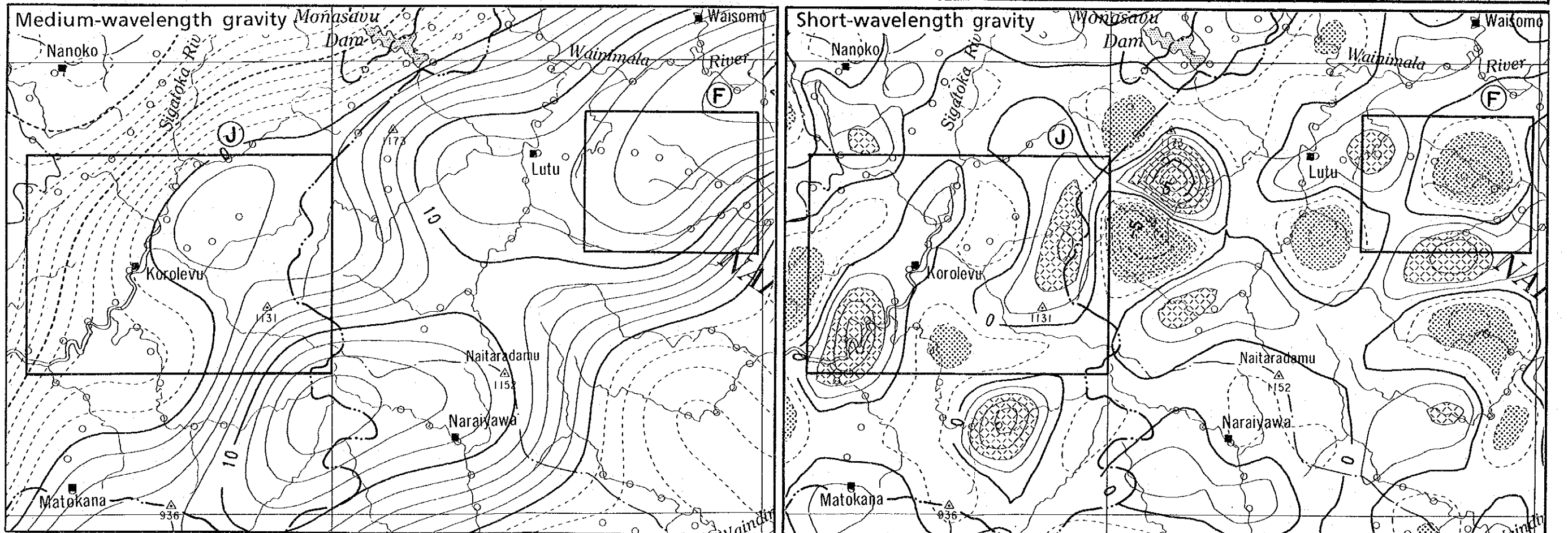
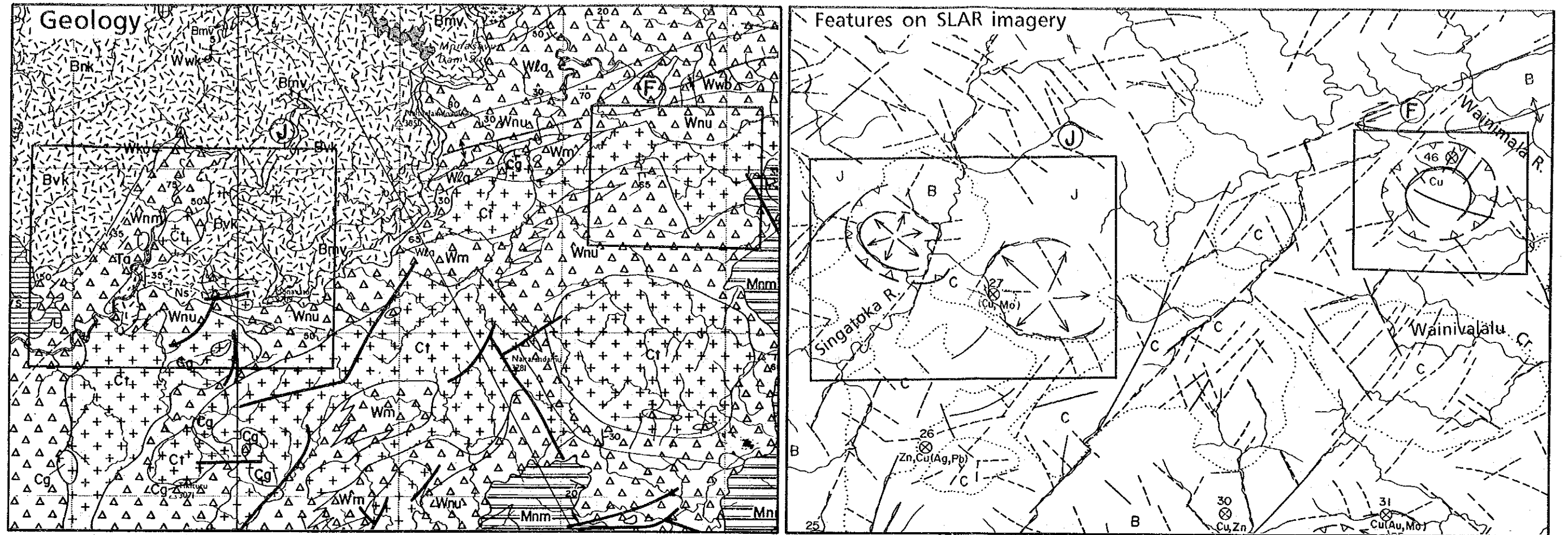


Fig. 2-4-18 Geology, SLAR Features, Med-, Short-wavelength Gravity (Areas F & J)

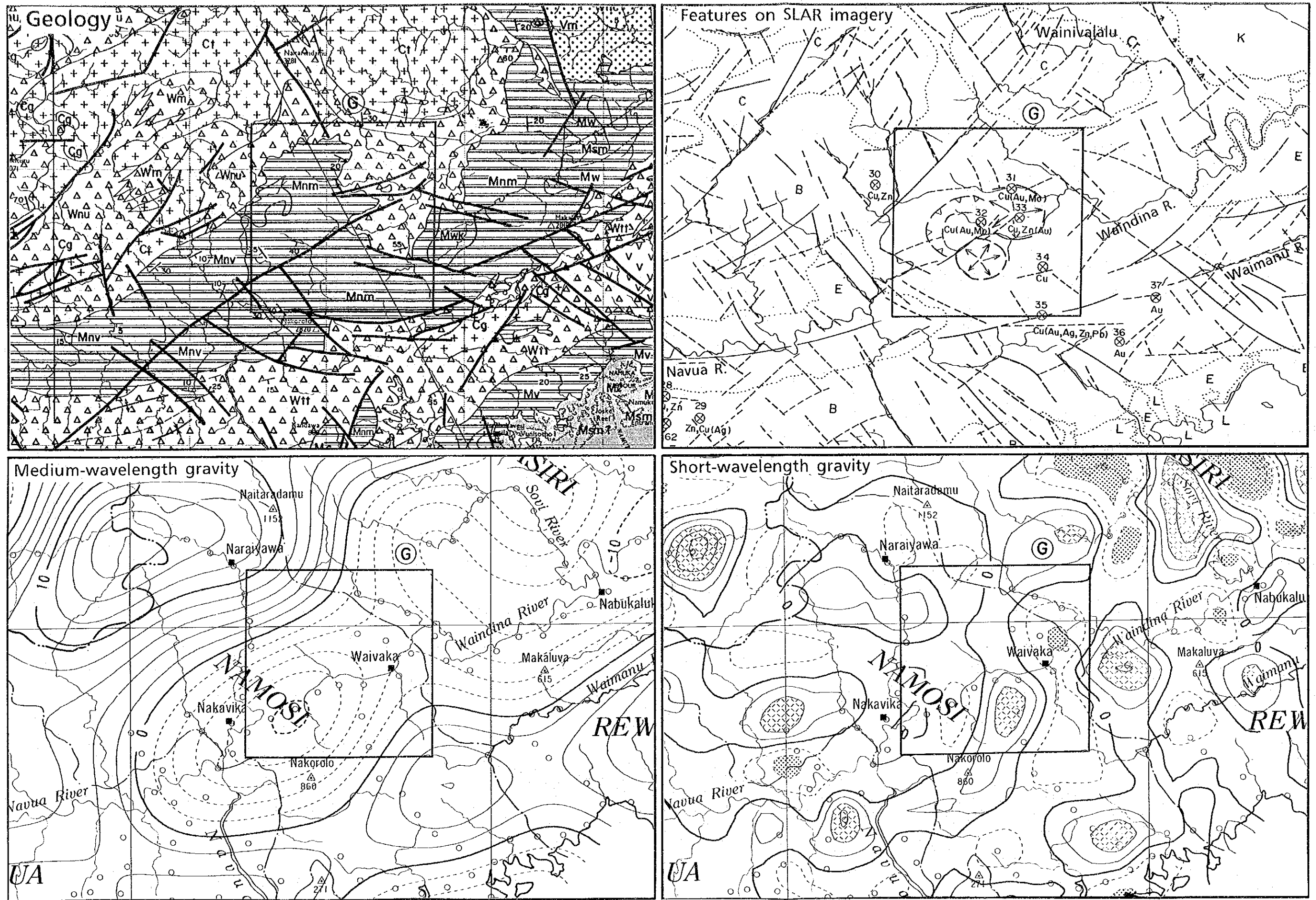
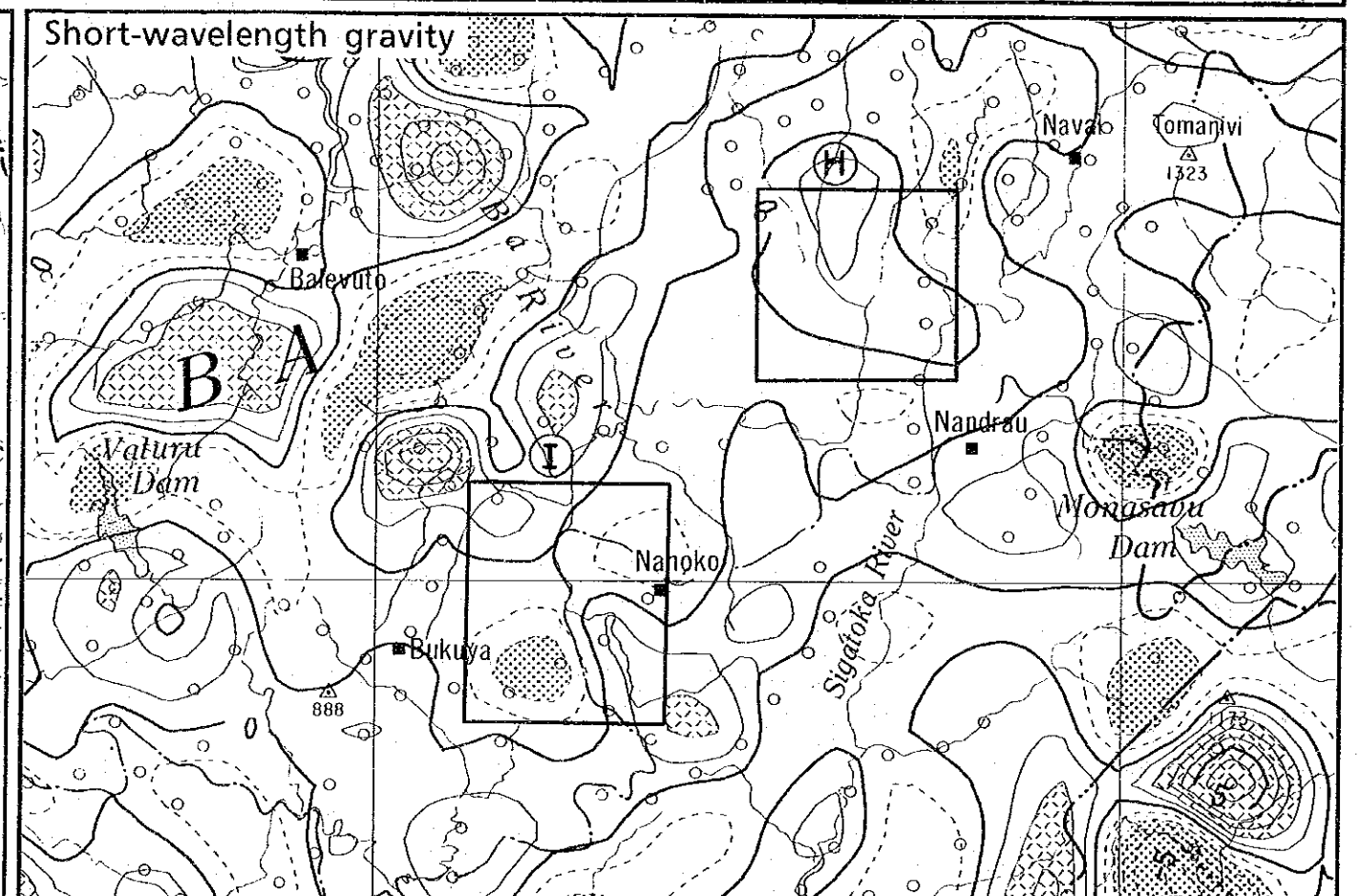
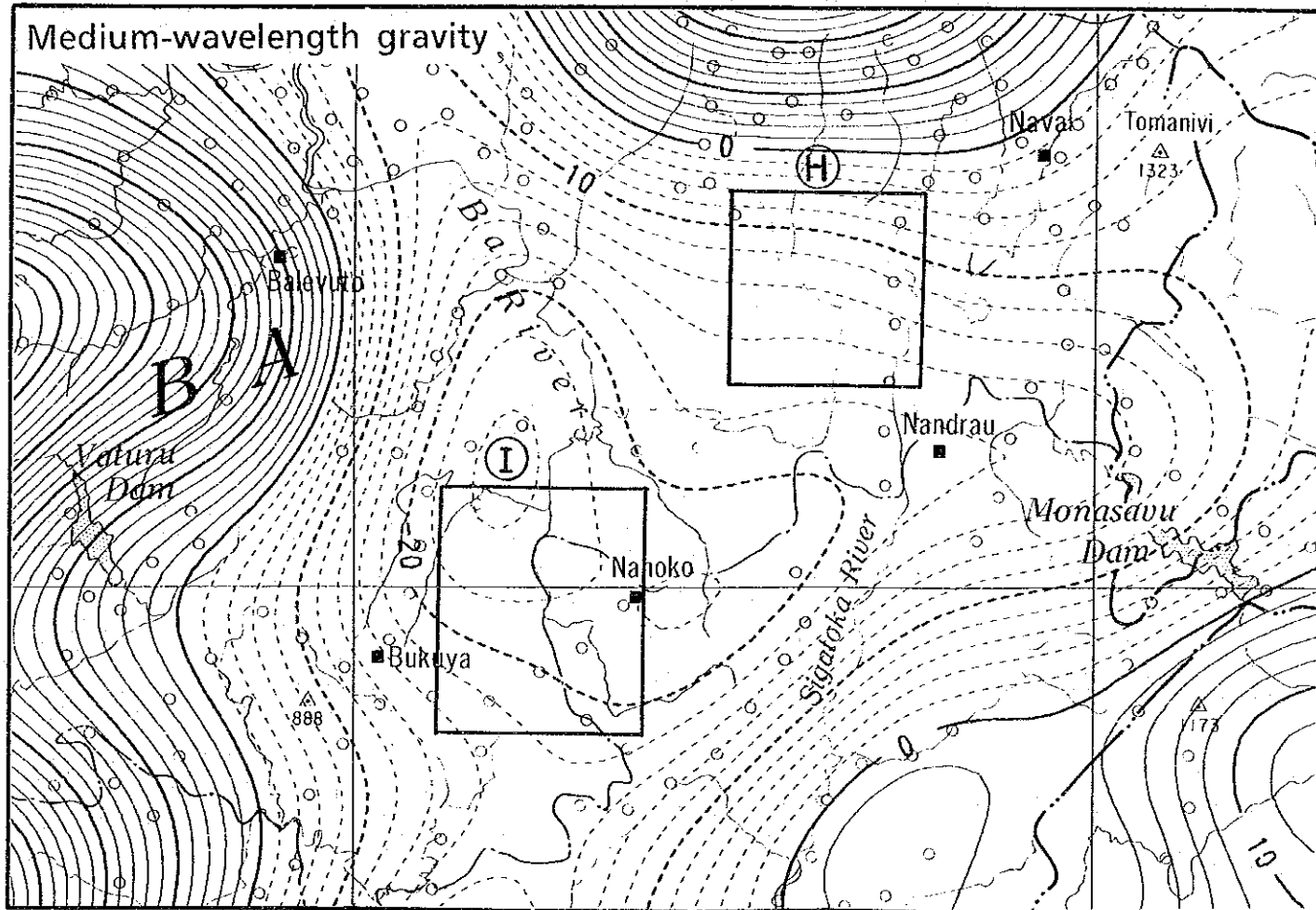
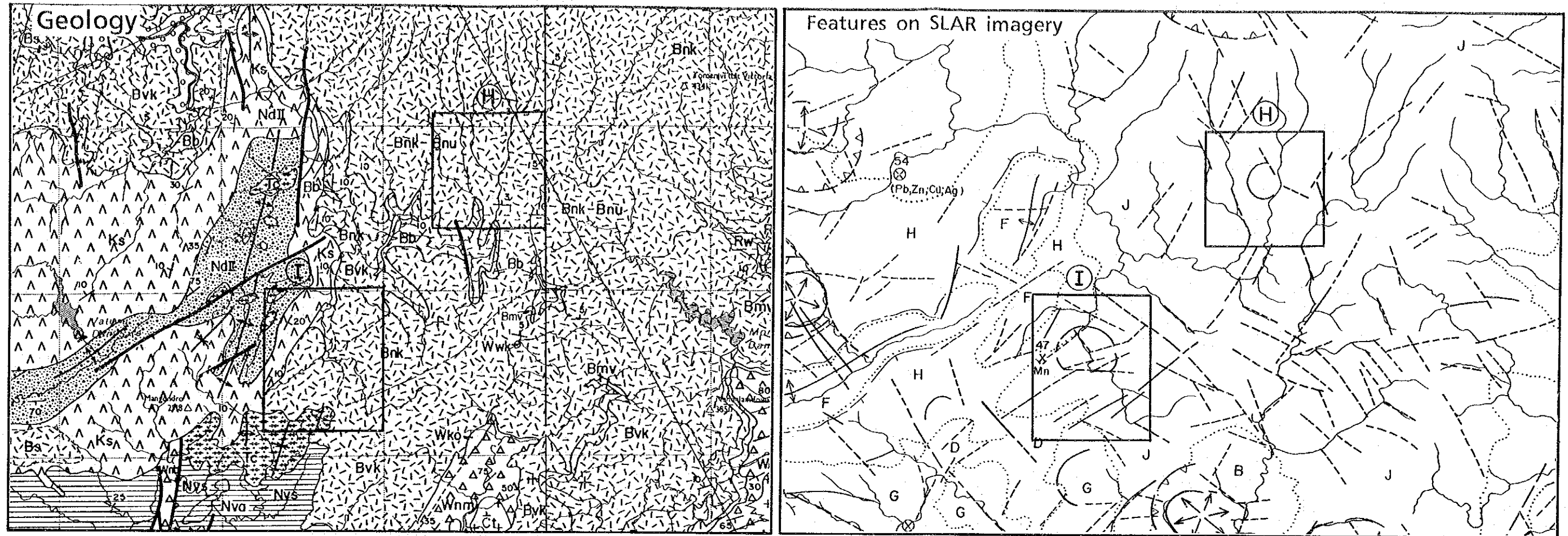


Fig. 2-4-19 Geology, SLAR Features, Med-, Short-wavelength Gravity (Area G)



1: 250,000
 0 5 10 15 20 Km

Fig. 2-4-20 Geology, SLAR Features, Med-, Short-wavelength Gravity (Areas H & I)

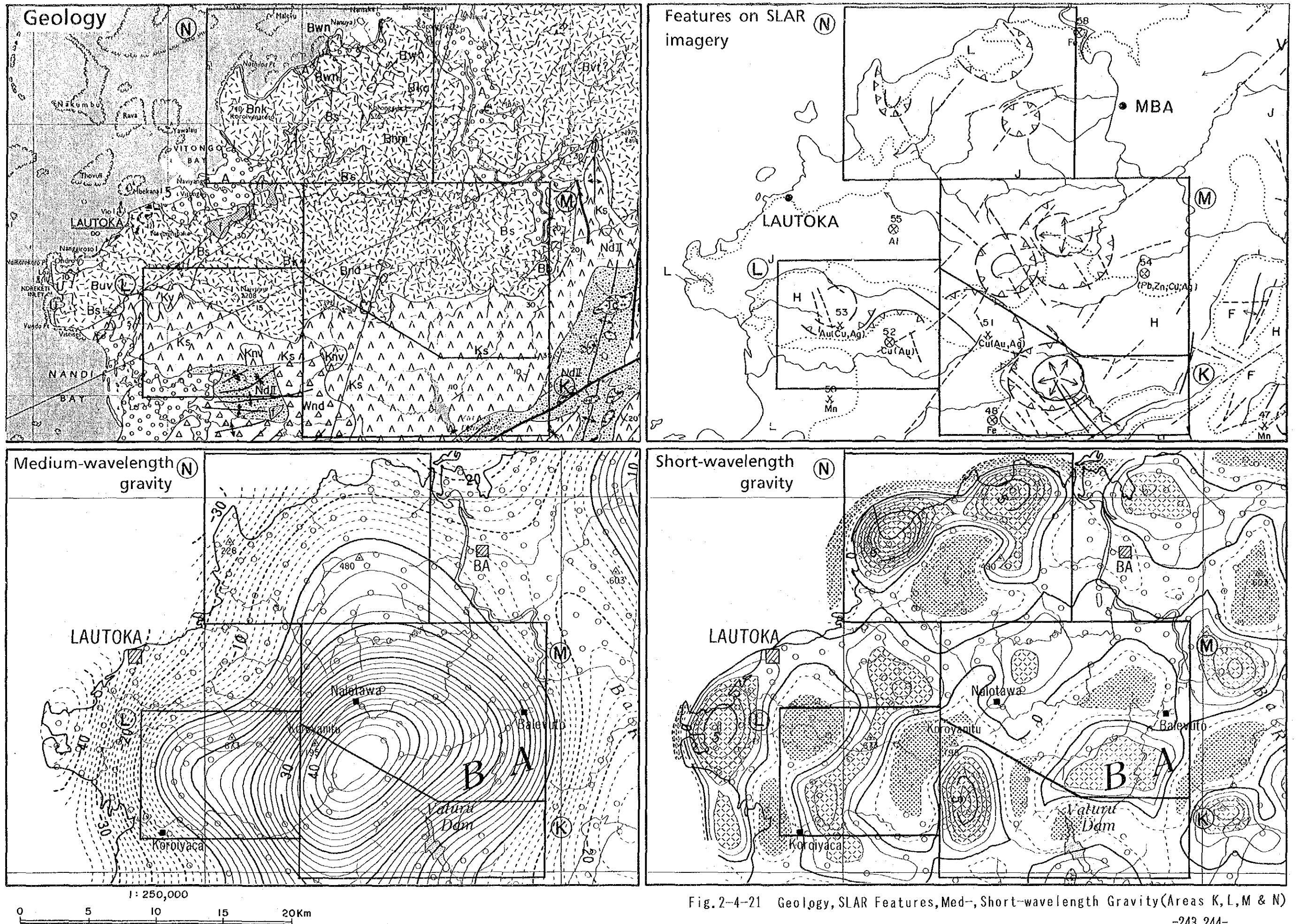
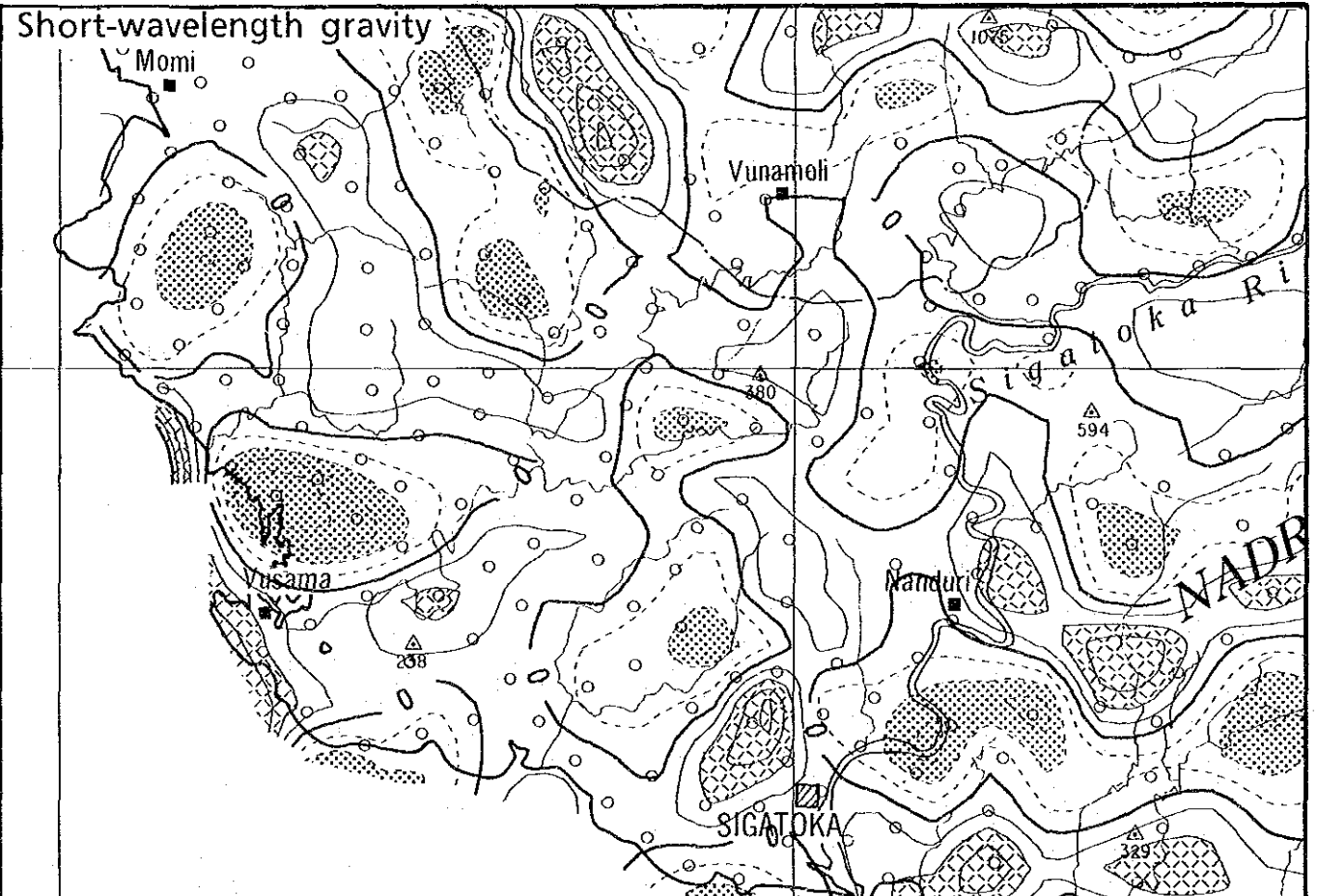
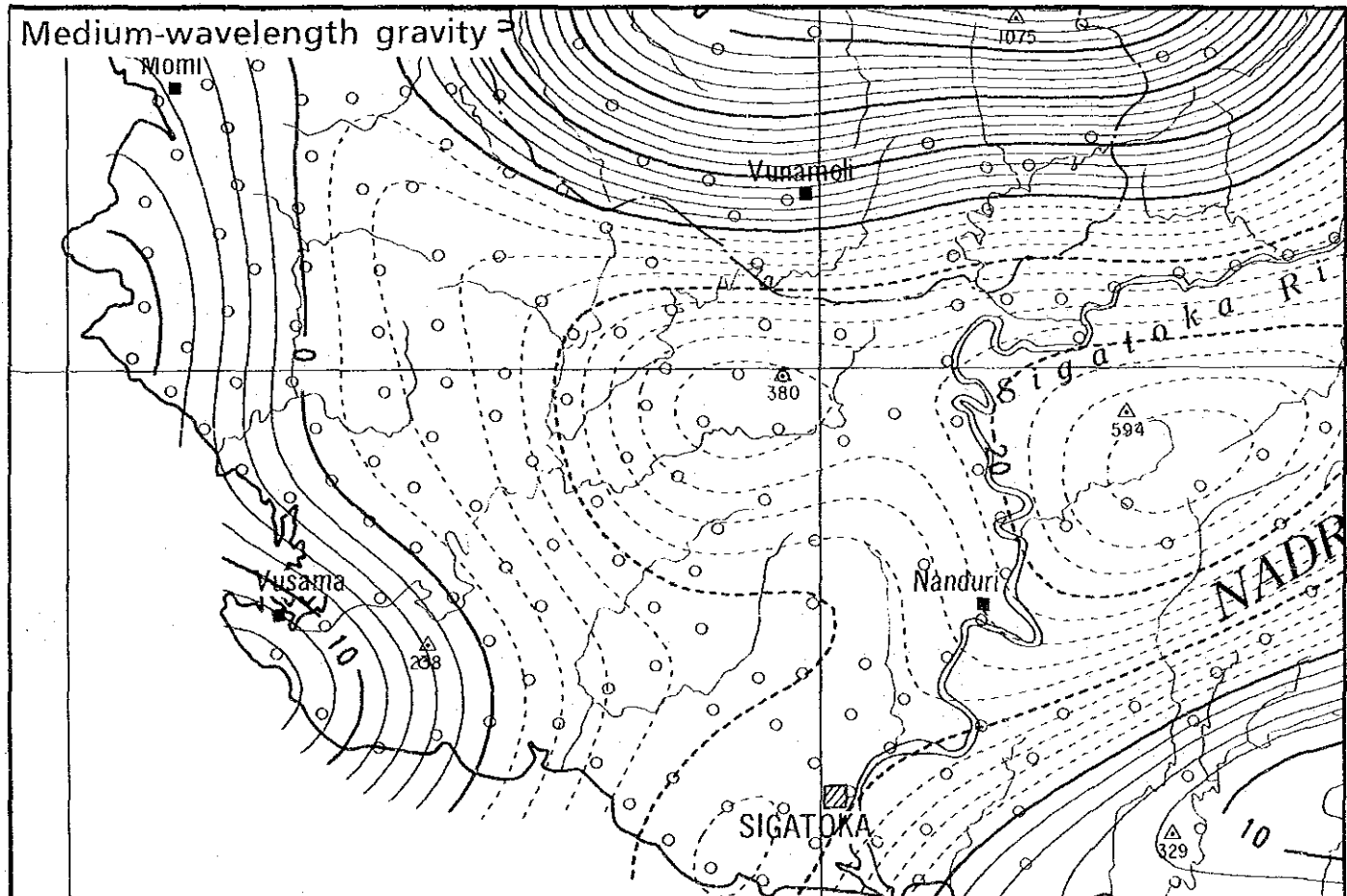
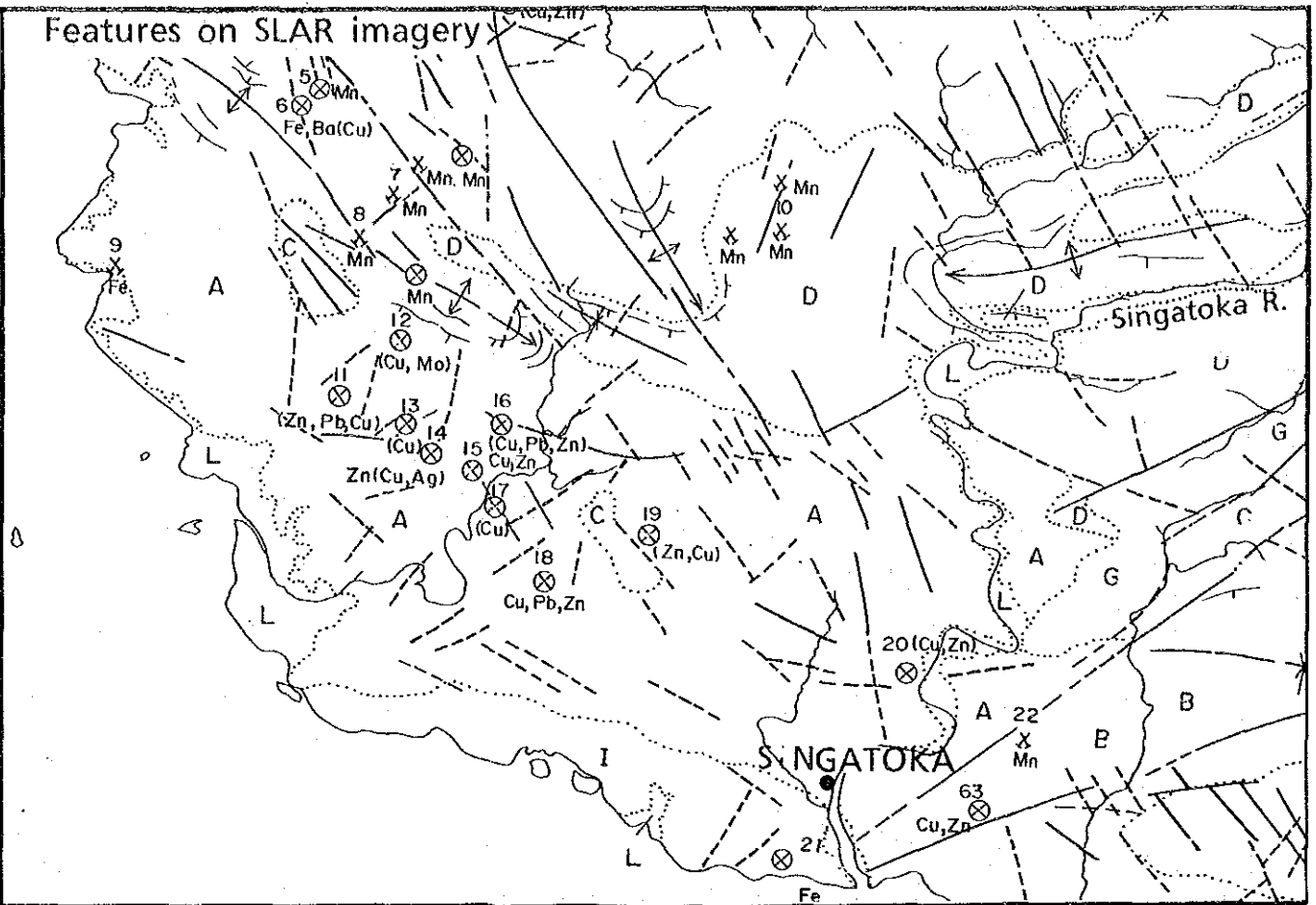
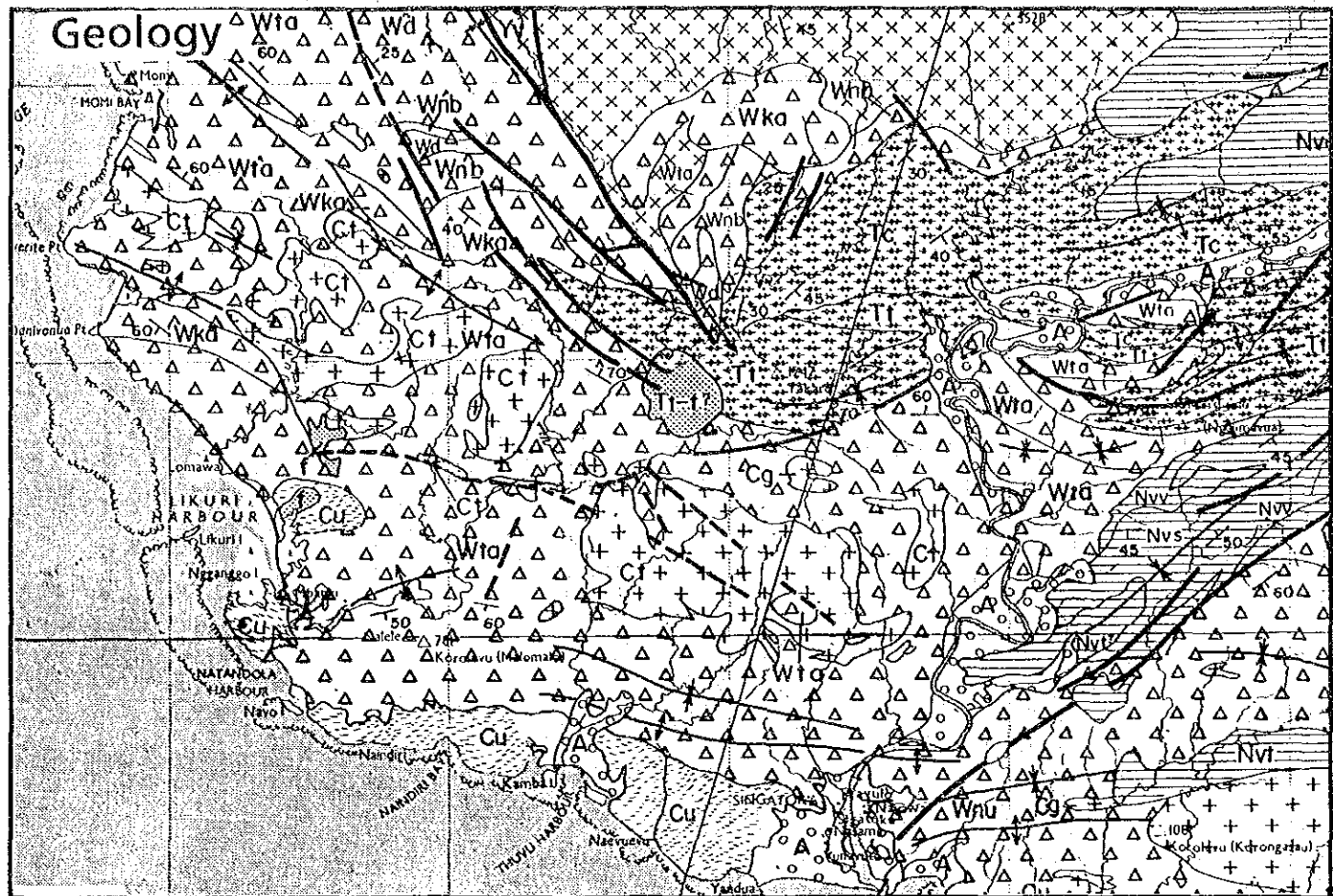


Fig.2-4-21 Geology, SLAR Features, Med-, Short-wavelength Gravity (Areas K, L, M & N)



1: 250,000
0 5 10 15 20km

Fig.2-4-22 Geology, SLAR Features, Med-, Short-wavelength Gravity (Sigatoka Area)

-245, 246-

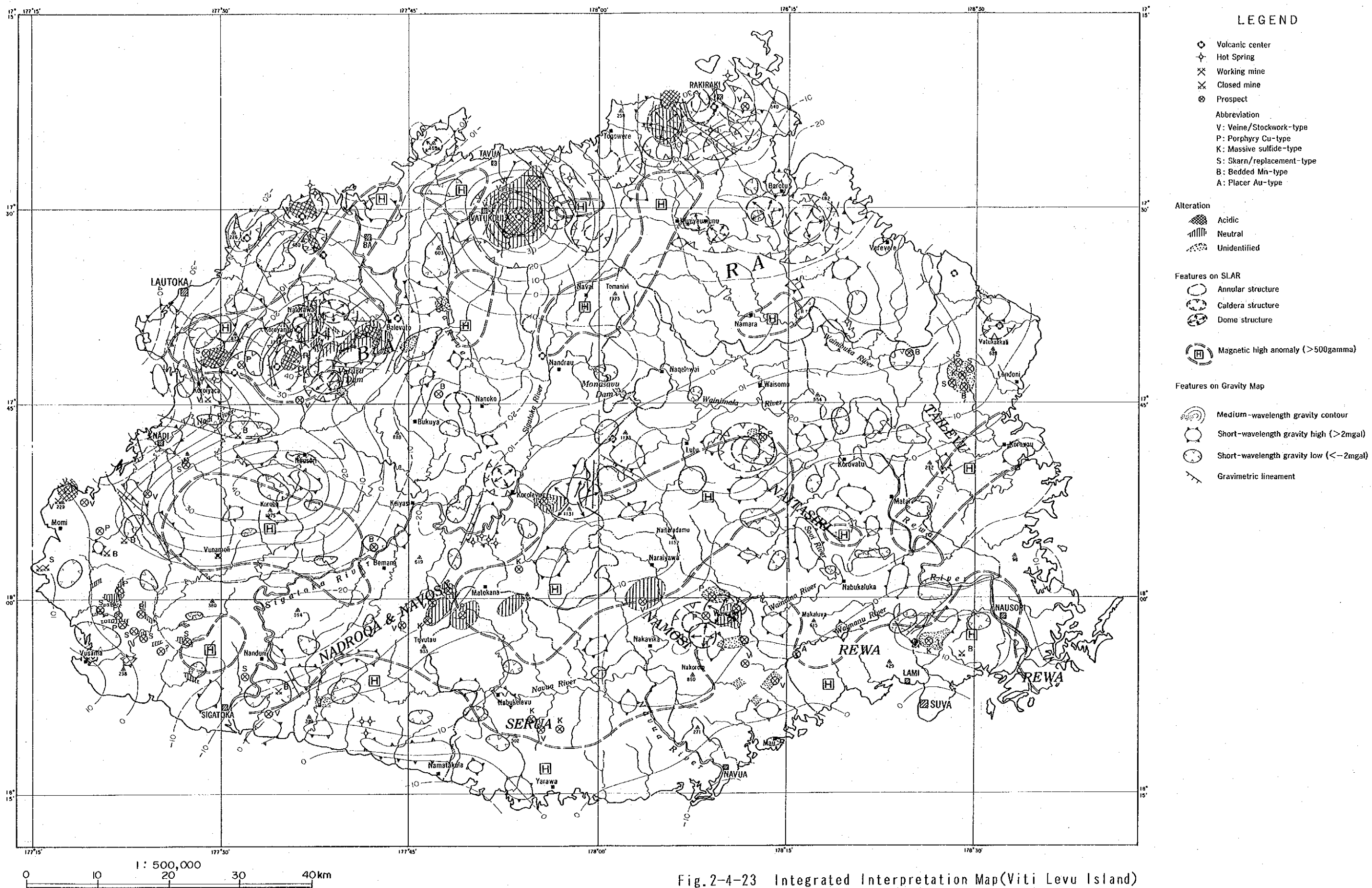


Fig.2-4-23 Integrated Interpretation Map(Viti Levu Island)
 (調査結果総合解析図-ヴィチレブ島)

第 III 部 結論及び提言

第Ⅲ部 結論及び提言

第1章 結論

【バ西地区】

バ西地区では、写真地質解析、地質調査・地化学探査及びボーリング調査が実施され、以下の結論が得られた。

(1) バ西地区の写真地質解析では、10の地質単元が分類され、地層は大局的に南から北へと緩く傾斜する構造が予想された。

(2) バ西地区の写真地質解析では、95本のリニアメントが抽出されたが、それらは本地区の南部及び北部に多く分布する。また、方位別リニアメント図におけるリニアメントの雁行配列から、本地域のリニアメントの一部が形成された時代の最大水平圧縮主応力軸がNNW~NNE及びENE~ESEと推定された。

(3) バ西地区周辺の既知鉱徴地の写真地質学的特徴は、抵抗度及び起伏量が低いことであり、本地区でこの特徴を有する箇所が8カ所認められた。

(4) バ西地区の地質は、第三系中新-鮮新統の安山岩質または玄武岩質火山噴出物・石灰岩、鮮新統の玄武岩質または安山岩質火山噴出物・砂岩・礫岩、第四系完新統の沖積層及び鮮新統を貫く貫入岩類（モンゾナイト、デイサイト、安山岩、玄武岩）からなり、第三系の地層は、全体的には緩く北に傾斜して累重し、地表では、北側ほど、若い地層が分布している。

(5) バ西地区の貫入岩の配列には次のような特徴が認められる。

南部の写真地質学的環状構造の内部にモンゾナイトがNNE-SSW方向に配列する。

安山岩及び玄武岩の岩脈は、主に、南部及び北部に分布し、特に南部で卓越する。

南部に分布する岩脈の多くと、北部に分布する岩脈の一部は、放射状に配列している。

南部に分布する岩脈のうち、安山岩の分布域は主として写真地質学的環状構造の内側であり、ここからN及びSE方向に伸びている。また、玄武岩は、安山岩分布域の周辺部に分布する。

(6) バ西地区における地化学探査の結果、4カ所に地表の鉱化変質帯と一致する顕著なAu, As, Teの地化学異常域が抽出された。このほか、鉱化変質帯を伴わない小規模地化

学異常が数箇所では把握され、地下浅部における潜頭性の鉍化変質帯の存在が予想された。

(7) パ西地区で実施された2孔のボーリングは、ともに鮮新統のナモサウ火山岩類に属する玄武岩溶岩及び同質火砕岩中を掘進し、黄鉄鉍鉍染を伴う広範囲な粘土化変質帯を把握したが、有望な Au 鉍徴は捕捉できなかった。

(8) パ西地区南部に写真地質学的環状構造として抽出された円形の凹陷地は、火山噴出物類及び貫入岩類の分布から、火山活動の中心部であると考えられる。本地域一帯には、大規模な中波長高重力異常が分布する。この高重力異常は、その規模からみて、本地域の火山噴出物類をもたらしたマグマ溜りの本体が固結した高密度岩体（地下深部の層状塩基性貫入岩体）を示していると考えられる。上記環状構造は、この高重力異常域のほぼ中心部に位置している。

(9) パ西地区南部の写真地質学的環状構造内部に、写真地質学的ドーム構造及び深成岩（モンズナイト）が分布することから、同構造内部は火山噴出物の噴出後、隆起したものと考えられる。このことから、上記環状構造の成因として、当初、同構造部に火山性の陥没構造が形成され、その後、その内部がマグマ上昇に伴い隆起したため、明瞭な陥没構造が消失した可能性が考えられる。

(10) パ西地区南部の写真地質学的環状構造付近では、玄武岩質火山噴出物中にモンズナイト及び安山岩が貫入していることから、火山噴出物の噴出後、マグマ溜り中において、玄武岩質マグマから安山岩質マグマへとマグマの分化が進行したと考えられる。

(11) パ西地区南部のモンズナイト岩体は、NNE-SSW 方向に配列することから、その貫入時 (4.96 ± 0.30 Ma) には、同方向の伸長性深部断裂が同方向の最大水平圧縮主応力により形成されたと考えられるが、この応力場は、写真地質から解析された鮮新世前期の応力場に一致する。

(12) パ西地区のリニアメントは、北部及び南部の火山中心と推定される場所及びその周辺に多く発達し、写真地質学的環状構造の内部では多方向のリニアメントが発達する。また、短波長低重力異常域または、短波長高重力異常域の一部では、その異常域の伸長方向に平行的なリニアメントが異常域内外に発達する。これらの事実から、本地域ではマグマ上昇に伴ってブロックごとの差別的上昇運動が起こり、断裂が発達したと考えられる。

(13) パ西地区南部の写真地質学的環状構造の近傍には、プロピライト化変質帯及びセリサイト化変質帯が発達し、それらの一部に重複して、Au 鉱化に関係した地化学探査異常または含金石英脈が分布する。このような地質構造及び鉱化・変質作用は、エンペラー鉱山地区のそれに、極めて似ている。本地区にはエンペラー鉱床と同タイプの低酸化硫黄系浅熱水性金鉱脈の賦存が期待される。

(14) パ西地区北部には、3カ所に写真地質学的カルデラ構造が抽出され、それらの周辺に火山噴出物が分布する。また、これらのカルデラ構造は、いずれも短波長高重力異常域に分布する。これらの事実から、上記の写真地質学的カルデラ構造が火口或いは火山性陥没構造であること、また、短波長高重力異常が、比較的地下浅部に存在する高密度岩であり、かつては、中波長高重力異常から推定される地下深部の大規模マグマ溜りから派生した小規模なマグマ溜りであったことが考えられる。

(15) パ西地区北部の写真地質学的カルデラ構造の一部には、珪化帯を伴う酸性変質帯が発達し、これに重複して Au 鉱化に関係した地化学探査異常が分布する。この鉱化作用は、いわゆる高酸化硫黄系の浅熱水性金鉱床型である。このタイプの鉱床の生成深度は、低酸化硫黄系の浅熱水性金鉱脈よりも一般に浅いと考えられる。ナモサウ変質帯では、本年度のボーリング調査によれば、鉱床は既に削剥されてしまったと考えられる。しかし、ラビラビ変質帯の下部については明らかでなく、鉱床が賦存する可能性はまだ残されている。

また、本地区の南東端部にも、北部と同様、高酸化硫黄系の浅熱水性金鉱床型変質帯が短波長高重力異常域に分布する。

(16) パ西地区の鉱化作用は、鮮新世の火山活動に関係した熱水作用によりもたらされたもので、比較的地下浅部にある小規模マグマ溜りの真上に形成された噴火中心部に高酸化硫黄系の浅熱水性金鉱床型鉱化作用が存在し、地下深部にある大規模マグマ溜りの中心部に形成された噴火中心の周辺部に低酸化硫黄系の浅熱水性金鉱脈型鉱化作用が存在すると考えられる。

【シンガトカ地区】

シンガトカ地区では、重力探査及び地質調査・地化学探査が実施され、以下の結論が得られた。

(1) シンガトカ地区の地質は、第三系中新統の玄武岩質または安山岩質火山噴出物・泥岩・砂岩等、第四系更新統(?)の河成堆積物及び中新統を貫く貫入岩類(花崗閃緑斑岩-閃緑斑岩岩体、花崗閃緑岩、閃緑岩、閃緑斑岩、花崗岩、石英斑岩、アプライト、玄武岩、

安山岩、デイサイト、流紋岩) からなり、中新統は、全体的に南西に傾斜して累重する構造を示す。

(2) シンガトカ地区の断層のうち、主要なものはゾロ深成岩類の配列方向 (WNW-ESE) とほぼ同様な方向 (E-W~WNW-ESE) を示し、これに斜交するものが少数存在する。主要断層は、ゾロ深成岩類のうち比較的前期の斑岩岩体 (10.1 ± 1.6 Ma) を切り、後期の深成岩岩体 (8.1 ± 0.3 Ma) に切られることから、その活動時期はゾロ深成岩類の活動時期と重複する。

また、ゾロ深成岩類の南側には岩脈類が NW-SE 及び E-W 方向に雁行配列しており、右横ずれ断層の存在が推定される。

(3) シンガトカ地区の SLAR リニアメントの方向は、NW-SE、WNW-ESE 及び NE-SW であり、これら各方向のリニアメント分布域には、リニアメントと同様の方向を示すゾロ深成岩類の岩体が存在する。

(4) シンガトカ地区の鉍化変質帯は、上記断層の近傍、ゾロ深成岩類の岩体周辺部、SLAR リニアメントの近傍及び雁行配列する岩脈群の近傍のうち、いずれかに分布することが多いが、一部は、ゾロ深成岩類の岩体内部にも分布する。

(5) シンガトカ地区における地化学探査の結果、4カ所に地表の鉍化変質帯と一致する大きな異常域を抽出し、そのほか多数の小規模地化学異常を抽出した。これらは、当該地域の下部に広がるゾロ深成岩類の関与で形成された地化学異常と考えられる。

(6) シンガトカ地区の鉍化作用は、ゾロ深成岩類の活動に密接に関係しており、その胚胎の場が深成岩及び斑岩岩体の近傍に発達した断裂帯であるとみられることから、鉍脈型、交代鉍床型、ポーフィリー銅型等の中～深熱水性の鉍化作用であると考えられる。

(7) シンガトカ地区では、鉍化変質帯の変質強度は一部を除いて弱く、地化学異常の強度も全般に低レベルである。また、鉍化変質帯及び地化学異常の多くでは、既にボーリング探鉍が実施され、注目すべき鉍徴は把握されていない。ボーリング探鉍が実施されていない変質帯及び地化学異常の中では、多成分の地化学異常が重複している2カ所の異常域が注目されるが、これらの地区に大規模鉍床を期待するならば、地表徴候の弱さから、鉍床の賦存位置は地下深部になると考えられる。

【重力探査】

重力探査はヴィチレブ島南部地区で実施され、第1年次の調査結果と併せて解析された。その結果、以下の結論が得られた。

(1) ヴィチレブ島の重力分布は、中波長重力分布によると、北東部のヴェレヴェレと南西部のシンガトカを結ぶ NE-SW の線を境に、円形～楕円形を呈する大規模な高異常（複数）が低重力域の中に孤立して分布する北西側の地域と、高異常と低異常が NE-SW の方向性を示して帯状に分布する南東側の地域とに明瞭に区分できる。北西側の高異常のうち最も西側のナンディ南東方の高異常はヤブナ層群の分布によく一致するが、他の3カ所の高異常については対応する地質は地表には見いだせない。南東側の帯状の高異常及び低異常は、それぞれ「ワイニマラ層群・ゾロ深成岩類」及び「メンドロウスズ層群・ベラタ堆積岩類層群」の分布にほぼ一致する。

(2) ナンディ南東方を除く、バ南西方、バトゥコウラ東方、ラキラキ西方の3カ所の大規模な中波長高重力異常は、その中心部に SLAR 映像による環状構造・カルデラ構造・ドーム構造、陥没構造・貫入岩体、変質帯、顕著な短波長異常などが集中して分布する。これらの中波長高異常は、周縁部の重力勾配が急であること、円形～楕円形を呈することなどから高密度火成岩体の存在を示唆していると考えられ、これらの場所の地下深部にかつて大規模なマグマ溜りが存在したことが推定される。

(3) エンペラー鉱床はバトゥコウラ東方の中波長高重力異常の中心部にある陥没構造の周縁部に、キングストン鉱床はバ南西方の中波長高重力異常の中心部にそれぞれ位置している。ラキラキ西方の中波長高重力異常とあわせて、これら3カ所の中波長高重力異常の中心部は、活発な火山活動が繰り返された地域と考えられ、浅熱水性金鉱床賦存の有望地域にあげられる。また、バ西地区の北部はバ南西方に中心をもつ中波長高重力異常の北方延長部にあたっており、SLAR 環状構造・カルデラ構造と短波長高異常との一致などから、南方の大規模なマグマ溜りから派生した小規模なマグマの活動の場であったと推定され、浅熱水性金鉱床賦存の可能性のある地域としてあげられる。

第2章 第3年次調査への提言

(1) パ西地区南部の写真地質学的環状構造付近に位置するヤロク変質帯及びナロタワーナヌク変質帯において、低酸化硫黄系の浅熱水性金鉱脈の賦存状況を確認するため試錐探鉱を実施することを提案する。

(2) パ西地区北部のラピラビ変質帯において、高酸化硫黄系の浅熱水性金鉱床の賦存状況を確認するため試錐探鉱を実施することを提案する。

(3) パ西地区北西部では、鉱化変質帯を伴わない小規模地化学異常が数箇所では把握された。これらの箇所では物理探査を実施することにより、地下浅部に期待される潜頭性の鉱化変質帯の分布状況を明らかにし、その結果がよければ、引き続きボーリングを実施することを提案する。

参 考 文 献

REFERENCES

- Colly, H. (1976): Mineral deposits of Fiji (metallic deposit). Mem. Miner. Resour. Div. Fiji, Legts. Coun. Pap. 1910(19).
- Hawkes, H. E. and Webb, J. S., (1962): Geochemistry in mineral exploration. Harper and Row, New York, N. Y. 28~31.
- Hamburger, M. W., Everingham I. B. and Isacks, B. and Barazangi, M. (1988): Active tectonism within the Fiji platform, southwest Pacific. Geol., **16**, 237~241.
- Hayaba, D. O., Bethke, P. M., Heald, P. and Foley, N. K. (1985): Geologic, mineralogic, and geochemical characteristics of volcanic-hosted epithermal precious metal deposits. /n Geology and geochemistry of epithermal system: Rev. Econ. Geol., v. 2, 129~167.
- Heald, P., Foley, N. K. and Hayaba, D. O. (1987): Comparative anatomy of volcanic-hosted epithermal deposits. Econ. Geol., **82**, 1~26.
- Hedenquist, J. W. (1987): Mineralization associated with volcanic-related hydrothermal systems in the circum-Pacific basin. /n Transactions of the Fourth Circum Pacific Energy and Mineral Resources Conference, Singapore. Horn, M. K. Ed., Am. Assoc. Pet. Geol., 513~524.
- JICA and MMAJ(1991): Report on the Cooperative Mineral Exploration in the Viti Levu Area, the Republic of Fiji Phase I.
- Jezeq, P. (1976): Gravity base stations in Indonesia and in the southwest pacific. Technical Report, Woods Hole Oceanographic Institution.
- La Porte, M. (1962): Elaboration rapide de cartes gravimetriques deduites, del anomalie de Bouguer a laide dune calculatrice electronique: Geophys. Prosp., **10**, 238~257.
- Lepeltier, C. (1969): A simplified statistical treatment of geochemical data by graphical representation. Econ. Geol., **64**, 538~550.
- Otsu, H., Kubota, R., and Matsuda, Y. (1983): Determination of statistical frequency of geochemical data. Mining Geol., **33**, 427~431.
- Rodda, P. and Duberal, R. (1966): Specific gravity of Viti Levu rocks. G. S. Note , 23~66, Geological Survey Department.
- Rodda, P. (1989): Geology of Fiji. MRD.
- Sinclair, A. J. (1974): Selection of threshold values in geochemical data using probability graphs. J. Geochem. Explor., **3**, 129~149.

Talwani, M., Worzel, J.L. and Landisman, M. (1959): Rapid gravity computations for two dimensional bodies with application to the Mendocino Submarine fracture zones: Jour. Geophys. Res. **64**, 49~59.

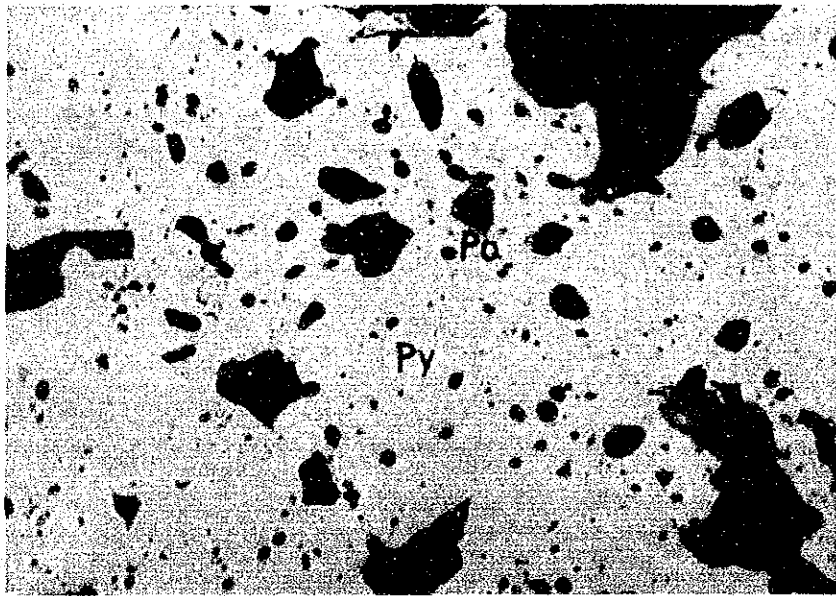
Stoffregen, R. (1987): Genesis of acid-sulfate alteration and Au-Cu-Ag mineralization at Summitville, Colorado. Econ. Geol., **82**, 1575~1591.

II 地上調査

写 真



Auriferous Quartz Vein (Yaloku OK-10)



Sample No: PS-7

Locality : MJF-2, 287.8m

Discription: Py diss.brec. rock

Py : Pyrite

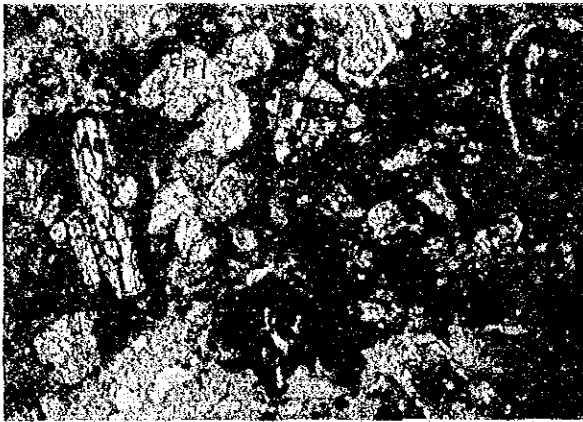
Po : Pyrrhotite

0

2mm

Photo 1 Outcrop of Auriferous Quartz Vein and
Microscopic Photograph of Polished Section

Open



Cross



Sample No: AY2-14

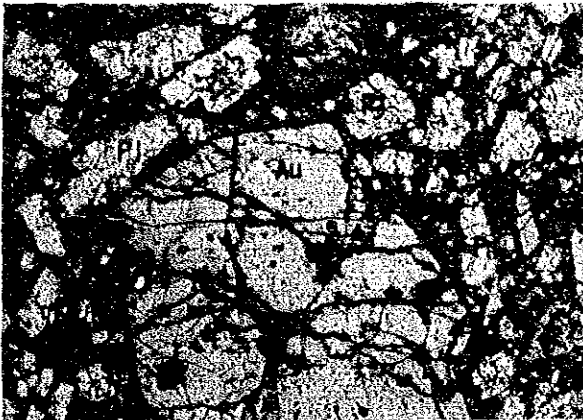
Locality : W of Nailanga

Rock name: Andesite

Formation: Bka

Au : Augite

Pl : Plagioclase



Sample No: TS-8

Locality : MJF-2 158.0m

Rock name: Ol-basalt

Formation: Bnm

Au : Augite

Pl : Plagioclase



Sample No: OK2-34

Locality : E of Vakambuli

Rock name: Basalt

Formation: Bky

Au : Augite

Pl : Plagioclase

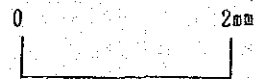
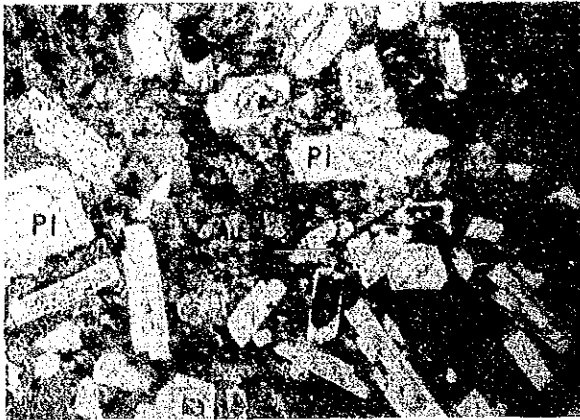


Photo 2. Microscopic Photograph of Thin Section (Mba-west Area)-1

Open



Cross



Sample No: KK2-66

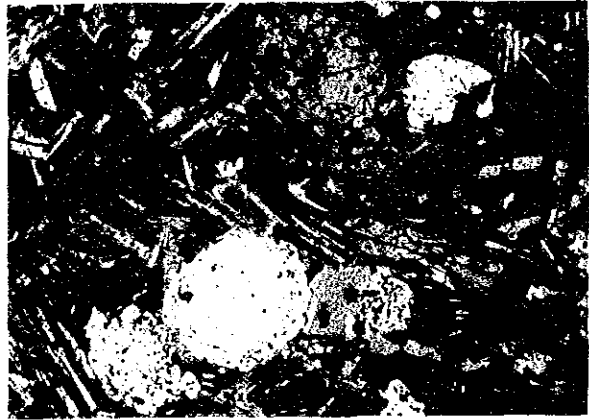
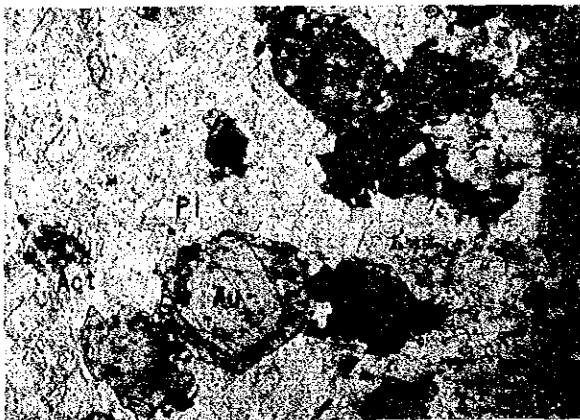
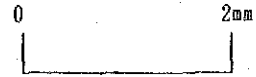
Locality : Yaloku

Rock name: Andesite

Formation: Ks

Au : Augite

Pl : Plagioclase



Sample No: OK2-74

Locality : W of Yaloku

Rock name: Monzonite

Formation: Intrusive rock

Au : Augite

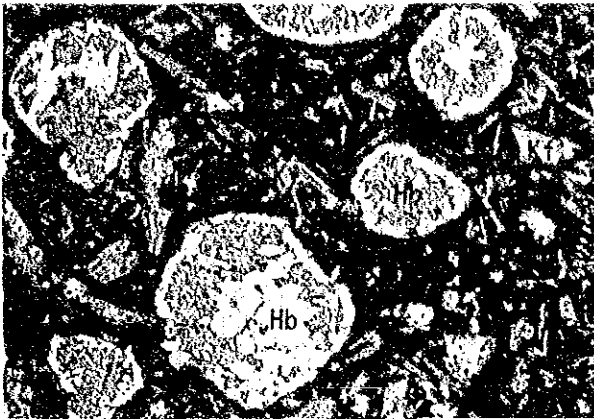
Pl : Plagioclase

Act: Actinolite

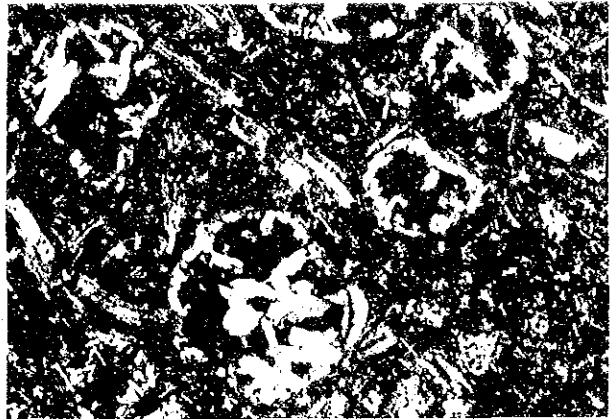


Photo 2 Microscopic Photograph of Thin Section (Mba-west Area) -2

Open



Cross



Sample No: SM2-209

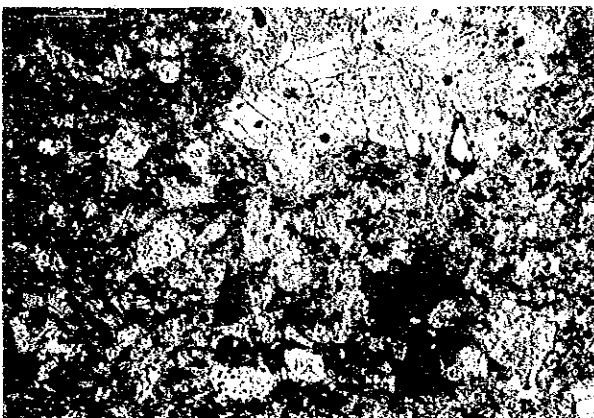
Locality : Tumbaivaka Cr

Rock name: Andesite

Formation: Wta

Hb : Hornblende

Kf : Alkali feldsper



Sample No: OK-258

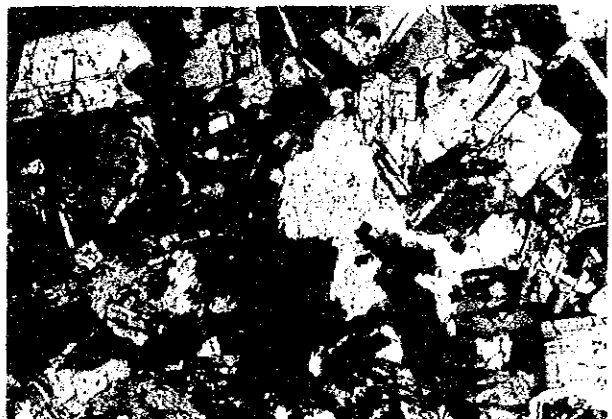
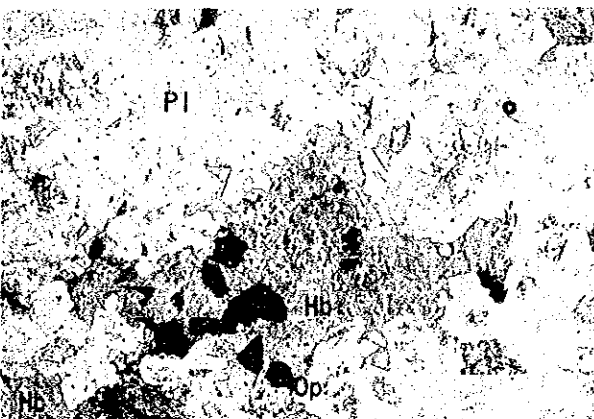
Locality : S of Waindolo

Rock name: Andesite

Formation: Wta

Hb : Hornblende

Pl : Plagioclase



Sample No: SM2-210

Locality : SE of waindolo

Rock name: Diorite

Formation: Intrusive rock

Hb : Hornblende

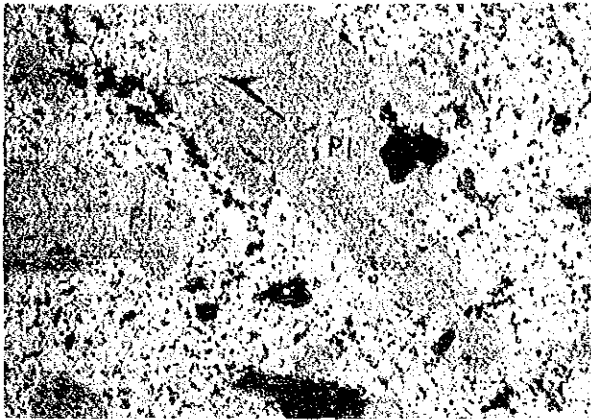
Pl : Plagioclase

Op : Opaque mineral



Photo 3 Microscopic Photograph of Thin Section (Sigatoka Area) -1

Open



Cross



Sample No: OK2-244

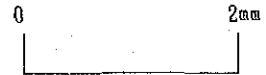
Locality : NW of Mburua

Rock name: Diorite porphyry

Formation: Intrusive rock

Hb : Hornblende

Pl : Plagioclase



Sample No: OK-238

Locality : Tulasewa Cr

Rock name: Granodiorite

Formation: Intrusive rock

Bi : Biotite

Hb : Hornblende

Pl : Plagioclase

Qz : Quartz



Sample No: OK2-242

Locality : NW of Mburua

Rock name: Basalt

Formation: Dyke

Hb : Hornblende

Pl : Plagioclase

Ol : Olivin mineral



Photo 3 Microscopic Photograph of Thin Section (Sigatoka Area)-2

卷末資料

- 1 . Results of Soil Analysis (Mba-west Area)
- 2 . Results of Soil Analysis (Sigatoka Area)
- 3 . Geologic Log of MJF-1 ~MJF-2
- 4 . Gravity Base Stations Description
- 5 . List of Gravity Values
- 6 . List of Terrain Correction Values
- 7 . List of Bouguer Anomalies

1. Results of Soil Analysis (Mba-west Area)

(地化学探査試料化学分析結果一覧表, パ西地区)

Table 1 Results of Soil Analysis (Mba West Area)

Sample No	Au (ppb)	Ag (ppm)	As (ppm)	Sb (ppm)	Hg (ppb)	Te (ppm)
AY0001	<5	<0.2	2	0.2	20	<0.05
AY0002	<5	<0.2	1	<0.2	40	<0.05
AY0003	<5	<0.2	1	<0.2	20	<0.05
AY0004	<5	<0.2	<1	<0.2	30	<0.05
AY0005	<5	<0.2	2	<0.2	20	<0.05
AY0006	<5	<0.2	1	<0.2	20	<0.05
AY0007	<5	<0.2	1	<0.2	20	<0.05
AY0008	<5	<0.2	<1	<0.2	30	<0.05
AY0009	<5	<0.2	1	<0.2	30	<0.05
AY0010	<5	<0.2	<1	<0.2	10	<0.05
AY0011	<5	<0.2	1	<0.2	40	<0.05
AY0012	<5	<0.2	1	<0.2	30	<0.05
AY0013	10	<0.2	1	<0.2	20	<0.05
AY0014	<5	<0.2	1	<0.2	20	<0.05
AY0015	<5	<0.2	2	<0.2	30	<0.05
AY0016	<5	<0.2	1	<0.2	40	<0.05
AY0017	<5	<0.2	1	<0.2	40	<0.05
AY0018	<5	<0.2	<1	<0.2	30	<0.05
AY0019	<5	<0.2	1	<0.2	110	<0.05
AY0020	<5	<0.2	3	<0.2	130	<0.05
AY0021	<5	<0.2	2	<0.2	50	<0.05
AY0022	<5	<0.2	2	<0.2	20	<0.05
AY0023	<5	<0.2	3	<0.2	150	0.05
AY0024	<5	<0.2	2	<0.2	40	<0.05
AY0025	<5	<0.2	2	<0.2	190	0.05
AY0026	<5	<0.2	1	<0.2	60	<0.05
AY0027	<5	<0.2	1	<0.2	70	<0.05
AY0028	<5	<0.2	3	<0.2	50	<0.05
AY0029	<5	<0.2	2	<0.2	30	<0.05
AY0030	<5	<0.2	2	<0.2	20	<0.05
AY0031	<5	<0.2	2	<0.2	90	<0.05
AY0032	<5	<0.2	1	<0.2	30	<0.05
AY0033	<5	<0.2	<1	<0.2	60	<0.05
AY0034	<5	<0.2	2	<0.2	40	<0.05
AY0035	<5	<0.2	2	<0.2	40	<0.05
AY0036	<5	<0.2	2	<0.2	50	<0.05
AY0037	<5	<0.2	1	<0.2	30	<0.05
AY0038	<5	<0.2	2	<0.2	30	<0.05
AY0039	<5	<0.2	<1	<0.2	10	<0.05
AY0040	<5	<0.2	4	<0.2	30	<0.05
AY0041	<5	<0.2	4	<0.2	20	<0.05
AY0042	<5	<0.2	4	<0.2	20	<0.05
AY0043	<5	<0.2	15	<0.2	30	<0.05
AY0044	<5	<0.2	7	<0.2	30	<0.05
AY0045	<5	<0.2	2	<0.2	10	<0.05
AY0046	<5	<0.2	19	0.2	20	0.50
AY0047	<5	<0.2	2	<0.2	30	0.05
AY0048	<5	<0.2	3	0.2	40	<0.05
AY0049	<5	<0.2	1	<0.2	20	<0.05
AY0050	<5	<0.2	1	<0.2	20	<0.05

Sample No	Au (ppb)	Ag (ppm)	As (ppm)	Sb (ppm)	Hg (ppb)	Te (ppm)
AY0051	<5	<0.2	1	<0.2	30	<0.05
AY0052	<5	<0.2	1	<0.2	30	<0.05
AY0053	<5	<0.2	1	<0.2	20	<0.05
AY0054	<5	<0.2	1	<0.2	10	<0.05
AY0055	<5	<0.2	<1	<0.2	30	<0.05
AY0056	<5	<0.2	<1	<0.2	30	<0.05
AY0057	<5	<0.2	<1	<0.2	20	<0.05
AY0058	<5	<0.2	<1	<0.2	30	<0.05
AY0059	<5	<0.2	<1	<0.2	30	<0.05
AY0060	<5	<0.2	<1	<0.2	40	<0.05
AY0061	<5	<0.2	<1	<0.2	30	<0.05
AY0062	<5	<0.2	1	<0.2	30	<0.05
AY0063	<5	<0.2	<1	<0.2	40	<0.05
AY0064	<5	<0.2	1	<0.2	50	<0.05
AY0065	<5	<0.2	<1	<0.2	30	<0.05
AY0066	<5	<0.2	1	<0.2	40	<0.05
AY0067	<5	<0.2	<1	<0.2	50	<0.05
AY0068	<5	<0.2	1	<0.2	70	<0.05
AY0069	<5	<0.2	1	<0.2	70	<0.05
AY0070	<5	<0.2	1	<0.2	40	<0.05
AY0071	<5	<0.2	1	<0.2	50	<0.05
AY0072	<5	<0.2	1	<0.2	40	<0.05
AY0073	<5	<0.2	<1	<0.2	50	<0.05
AY0074	<5	<0.2	<1	<0.2	50	<0.05
AY0075	<5	<0.2	10	<0.2	30	<0.05
AY0076	<5	<0.2	<1	<0.2	20	<0.05
AY0077	<5	<0.2	1	<0.2	30	<0.05
AY0078	<5	<0.2	<1	<0.2	30	<0.05
AY0079	<5	<0.2	1	<0.2	100	<0.05
AY0080	<5	<0.2	<1	<0.2	30	<0.05
AY0081	<5	<0.2	1	<0.2	20	<0.05
AY0082	<5	<0.2	1	<0.2	20	<0.05
AY0083	<5	<0.2	1	<0.2	30	<0.05
AY0084	<5	<0.2	<1	<0.2	20	<0.05
AY0086	<5	<0.2	3	<0.2	20	<0.05
AY0087	<5	<0.2	1	0.2	30	<0.05
AY0088	<5	<0.2	1	<0.2	50	<0.05
AY0089	<5	<0.2	1	<0.2	30	<0.05
AY0090	<5	<0.2	1	<0.2	30	<0.05
AY0091	<5	<0.2	1	<0.2	50	<0.05
AY0092	<5	<0.2	1	<0.2	60	<0.05
AY0093	<5	<0.2	1	<0.2	70	<0.05
AY0094	<5	<0.2	1	<0.2	50	<0.05
AY0095	<5	<0.2	1	<0.2	40	<0.05
AY0096	<5	<0.2	1	<0.2	40	<0.05
AY0097	<5	<0.2	<1	<0.2	40	<0.05
AY0098	<5	<0.2	1	<0.2	50	<0.05
AY0099	<5	<0.2	1	<0.2	100	<0.05
AY0101	<5	<0.2	1	<0.2	30	<0.05
AY0102	<5	<0.2	1	<0.2	50	<0.05

Table 1 Results of Soil Analysis(Mba West Area)

Sample No	Au (ppb)	Ag (ppm)	As (ppm)	Sb (ppm)	Hg (ppb)	Te (ppm)
AY0103	<5	<0.2	2	<0.2	60	<0.05
AY0104	<5	<0.2	3	<0.2	50	<0.05
AY0105	<5	<0.2	1	<0.2	30	<0.05
AY0106	<5	<0.2	1	<0.2	20	<0.05
AY0107	<5	<0.2	<1	<0.2	30	<0.05
AY0108	<5	<0.2	1	<0.2	20	<0.05
AY0109	<5	<0.2	1	<0.2	30	<0.05
AY0110	<5	<0.2	<1	<0.2	30	<0.05
AY0111	<5	<0.2	1	<0.2	50	<0.05
AY0112	<5	<0.2	<1	<0.2	40	<0.05
AY0113	<5	<0.2	1	<0.2	50	<0.05
AY0114	<5	<0.2	<1	<0.2	60	<0.05
AY0115	<5	<0.2	<1	<0.2	70	<0.05
AY0116	<5	<0.2	1	<0.2	130	<0.05
AY0117	<5	<0.2	<1	<0.2	80	<0.05
AY0118	<5	<0.2	<1	<0.2	70	<0.05
AY0119	<5	<0.2	1	<0.2	80	<0.05
AY0120	<5	<0.2	1	<0.2	30	0.05
AY0121	<5	<0.2	<1	<0.2	40	0.05
AY0122	<5	<0.2	1	<0.2	50	<0.05
AY0123	<5	<0.2	<1	<0.2	70	<0.05
AY0124	<5	<0.2	1	<0.2	30	<0.05
AY0125	<5	<0.2	<1	<0.2	50	<0.05
AY0126	<5	<0.2	1	<0.2	40	0.05
AY0127	<5	<0.2	1	<0.2	40	<0.05
AY0128	<5	<0.2	1	<0.2	30	0.10
AY0129	<5	<0.2	1	<0.2	20	0.05
AY0130	<5	<0.2	3	<0.2	40	0.10
AY0131	<5	<0.2	2	<0.2	60	0.05
AY0132	<5	<0.2	2	<0.2	50	<0.05
AY0133	<5	<0.2	2	<0.2	70	<0.05
AY0134	<5	<0.2	<1	<0.2	50	0.05
AY0135	<5	<0.2	5	<0.2	50	0.15
AY0136	<5	<0.2	<1	<0.2	50	<0.05
AY0137	<5	<0.2	<1	<0.2	60	<0.05
AY0138	<5	<0.2	<1	<0.2	50	<0.05
AY0139	<5	<0.2	<1	<0.2	40	<0.05
AY0140	<5	<0.2	<1	<0.2	60	<0.05
AY0141	<5	<0.2	<1	<0.2	60	<0.05
AY0142	<5	<0.2	<1	<0.2	30	<0.05
AY0143	<5	<0.2	<1	<0.2	20	<0.05
AY0144	<5	<0.2	<1	<0.2	50	<0.05
AY0145	<5	<0.2	<1	<0.2	30	<0.05
AY0146	<5	<0.2	<1	<0.2	40	<0.05
AY0147	<5	<0.2	7	<0.2	50	<0.05
AY0148	<5	<0.2	<1	<0.2	60	<0.05
AY0149	<5	<0.2	<1	<0.2	50	<0.05
AY0150	<5	<0.2	<1	<0.2	60	<0.05
AY0151	<5	<0.2	<1	<0.2	50	<0.05
AY0152	<5	<0.2	<1	<0.2	30	<0.05

Sample No	Au (ppb)	Ag (ppm)	As (ppm)	Sb (ppm)	Hg (ppb)	Te (ppm)
AY0153	<5	<0.2	2	<0.2	40	<0.05
AY0154	<5	<0.2	<1	<0.2	40	<0.05
AY0155	<5	<0.2	<1	<0.2	40	<0.05
AY0156	<5	<0.2	<1	<0.2	50	<0.05
AY0157	<5	<0.2	<1	<0.2	70	<0.05
AY0158	<5	<0.2	<1	<0.2	30	<0.05
AY0160	<5	<0.2	<1	<0.2	70	<0.05
AY0161	<5	<0.2	<1	<0.2	80	<0.05
AY0162	<5	<0.2	<1	<0.2	60	<0.05
AY0163	<5	<0.2	<1	<0.2	50	<0.05
AY0164	<5	<0.2	<1	<0.2	40	<0.05
AY0165	<5	<0.2	<1	<0.2	40	<0.05
AY0166	<5	<0.2	<1	<0.2	60	<0.05
AY0167	<5	<0.2	<1	<0.2	60	<0.05
AY0168	<5	<0.2	<1	<0.2	50	<0.05
AY0169	<5	<0.2	<1	<0.2	70	<0.05
AY0170	<5	<0.2	<1	<0.2	30	<0.05
AY0171	<5	<0.2	<1	<0.2	30	<0.05
AY0172	<5	<0.2	<1	<0.2	30	<0.05
AY0173	<5	<0.2	<1	<0.2	40	<0.05
AY0174	<5	<0.2	<1	<0.2	30	<0.05
AY0175	<5	<0.2	<1	<0.2	40	<0.05
AY0176	<5	<0.2	<1	<0.2	40	<0.05
AY0177	<5	<0.2	<1	<0.2	80	<0.05
AY0178	<5	<0.2	<1	<0.2	30	<0.05
AY0179	<5	<0.2	<1	<0.2	40	<0.05
AY0180	<5	<0.2	<1	<0.2	30	<0.05
AY0181	<5	<0.2	<1	<0.2	40	<0.05
AY0182	<5	<0.2	<1	<0.2	30	<0.05
AY0183	<5	<0.2	<1	<0.2	40	<0.05
AY0184	<5	<0.2	<1	<0.2	50	<0.05
AY0185	<5	<0.2	<1	<0.2	40	<0.05
AY0186	<5	<0.2	<1	<0.2	60	<0.05
AY0187	<5	<0.2	<1	<0.2	30	<0.05
AY0188	<5	<0.2	<1	<0.2	40	<0.05
AY0189	<5	<0.2	<1	<0.2	60	<0.05
AY0190	<5	<0.2	<1	<0.2	50	<0.05
AY0191	<5	<0.2	<1	<0.2	40	<0.05
AY0192	<5	<0.2	<1	<0.2	60	<0.05
AY0193	<5	<0.2	<1	<0.2	120	<0.05
AY0194	<5	<0.2	<1	<0.2	40	<0.05
AY0195	<5	<0.2	<1	<0.2	60	<0.05
AY0196	<5	<0.2	2	<0.2	30	<0.05
AY0197	<5	<0.2	3	<0.2	70	<0.05
AY0198	<5	<0.2	1	<0.2	60	<0.05
AY0199	<5	<0.2	<1	<0.2	70	<0.05
AY0200	<5	<0.2	1	<0.2	30	<0.05
AY0201	<5	<0.2	<1	<0.2	30	<0.05
AY0202	<5	<0.2	<1	<0.2	40	<0.05
AY0203	<5	<0.2	<1	<0.2	40	<0.05

Table 1 Results of Soil Analysis (Mba West Area)

Sample No.	Au (ppb)	Ag (ppm)	As (ppm)	Sb (ppm)	Hg (ppb)	Te (ppm)
AY0204	<5	<0.2	<1	<0.2	50	<0.05
AY0205	<5	<0.2	<1	<0.2	20	<0.05
AY0206	<5	<0.2	<1	<0.2	20	<0.05
AY0207	<5	<0.2	<1	<0.2	30	<0.05
AY0208	<5	<0.2	<1	<0.2	20	<0.05
AY0209	<5	<0.2	<1	<0.2	20	<0.05
AY0210	<5	<0.2	<1	<0.2	20	<0.05
AY0211	<5	<0.2	<1	<0.2	30	<0.05
AY0212	<5	<0.2	<1	<0.2	20	<0.05
AY0213	<5	<0.2	<1	<0.2	60	<0.05
AY0214	<5	<0.2	<1	<0.2	40	<0.05
AY0215	<5	<0.2	<1	<0.2	60	<0.05
AY0216	<5	<0.2	1	<0.2	30	<0.05
AY0217	<5	<0.2	<1	<0.2	20	<0.05
AY0218	<5	<0.2	<1	<0.2	20	<0.05
AY0219	<5	<0.2	<1	<0.2	30	<0.05
AY0220	<5	<0.2	<1	<0.2	20	<0.05
AY0221	<5	<0.2	1	<0.2	40	<0.05
AY0222	<5	<0.2	<1	<0.2	30	<0.05
AY0223	<5	<0.2	<1	<0.2	30	<0.05
AY0224	<5	<0.2	<1	<0.2	20	<0.05
AY0225	<5	<0.2	<1	<0.2	10	<0.05
AY0226	<5	<0.2	<1	<0.2	60	<0.05
AY0227	<5	<0.2	<1	<0.2	80	<0.05
AY0228	<5	<0.2	<1	<0.2	110	<0.05
AY0229	<5	<0.2	<1	<0.2	80	<0.05
AY0230	<5	<0.2	<1	<0.2	60	<0.05
AY0231	<5	<0.2	<1	0.2	90	<0.05
AY0232	<5	<0.2	<1	<0.2	50	<0.05
AY0233	<5	<0.2	<1	<0.2	50	<0.05
AY0234	<5	<0.2	<1	<0.2	40	<0.05
AY0235	<5	<0.2	<1	<0.2	60	<0.05
AY0236	<5	<0.2	<1	<0.2	150	<0.05
AY0237	<5	<0.2	1	<0.2	80	<0.05
AY0238	<5	<0.2	<1	<0.2	80	<0.05
AY0239	<5	<0.2	<1	<0.2	50	<0.05
AY0240	<5	<0.2	<1	<0.2	80	<0.05
AY0241	<5	<0.2	<1	<0.2	50	<0.05
AY0242	<5	<0.2	<1	<0.2	50	<0.05
AY0243	<5	<0.2	<1	<0.2	40	<0.05
AY0244	<5	<0.2	1	<0.2	50	<0.05
AY0245	<5	<0.2	1	<0.2	50	<0.05
AY0246	<5	<0.2	<1	<0.2	40	<0.05
AY0247	<5	<0.2	<1	<0.2	20	<0.05
AY0248	<5	<0.2	<1	<0.2	50	<0.05
AY0249	<5	<0.2	<1	<0.2	50	<0.05
AY0250	<5	<0.2	<1	<0.2	50	<0.05
AY0251	<5	<0.2	<1	<0.2	30	<0.05
AY0252	<5	<0.2	1	<0.2	30	<0.05
AY0253	<5	<0.2	<1	<0.2	40	<0.05

Sample No.	Au (ppb)	Ag (ppm)	As (ppm)	Sb (ppm)	Hg (ppb)	Te (ppm)
AY0254	<5	<0.2	<1	<0.2	40	<0.05
AY0255	<5	<0.2	<1	<0.2	30	<0.05
AY0256	<5	<0.2	<1	<0.2	40	<0.05
AY0257	<5	<0.2	<1	<0.2	80	<0.05
AY0258	<5	<0.2	<1	<0.2	40	<0.05
AY0259	<5	<0.2	<1	<0.2	60	<0.05
AY0260	<5	<0.2	<1	<0.2	40	<0.05
AY0261	<5	<0.2	<1	<0.2	40	<0.05
AY0262	<5	<0.2	<1	<0.2	40	<0.05
AY0263	<5	<0.2	1	<0.2	30	<0.05
AY0264	<5	<0.2	<1	<0.2	40	<0.05
AY0265	<5	<0.2	<1	<0.2	30	<0.05
AY0266	<5	<0.2	<1	<0.2	30	<0.05
AY0267	<5	<0.2	<1	<0.2	30	<0.05
AY0268	<5	<0.2	<1	<0.2	30	<0.05
AY0269	<5	<0.2	<1	<0.2	60	<0.05
AY0270	<5	<0.2	<1	<0.2	50	<0.05
AY0271	<5	<0.2	<1	<0.2	60	<0.05
AY0272	<5	<0.2	<1	<0.2	70	<0.05
AY0273	<5	<0.2	<1	<0.2	90	<0.05
AY0274	<5	<0.2	<1	<0.2	80	<0.05
AY0275	<5	<0.2	1	<0.2	70	<0.05
AY0276	<5	<0.2	1	<0.2	50	<0.05
AY0277	<5	<0.2	<1	<0.2	40	<0.05
AY0278	<5	<0.2	1	<0.2	40	<0.05
AY0279	<5	<0.2	<1	<0.2	70	<0.05
AY0281	<5	<0.2	<1	<0.2	70	<0.05
AY0282	<5	<0.2	<1	<0.2	50	<0.05
AY0283	<5	<0.2	<1	<0.2	60	<0.05
AY0284	<5	<0.2	<1	<0.2	90	<0.05
AY0285	<5	<0.2	<1	<0.2	50	<0.05
AY0286	<5	<0.2	<1	<0.2	60	<0.05
AY0287	<5	<0.2	<1	<0.2	110	<0.05
AY0288	<5	<0.2	<1	<0.2	20	<0.05
AY0289	<5	<0.2	<1	<0.2	20	<0.05
AY0290	<5	<0.2	<1	<0.2	20	<0.05
AY0291	<5	<0.2	<1	<0.2	20	<0.05
AY0292	<5	<0.2	<1	<0.2	10	<0.05
AY0293	<5	<0.2	<1	<0.2	40	<0.05
AY0294	<5	<0.2	1	<0.2	40	<0.05
AY0295	5	<0.2	7	<0.2	60	<0.05
AY0296	<5	<0.2	1	<0.2	50	<0.05
AY0297	<5	<0.2	<1	<0.2	30	<0.05
AY0298	<5	<0.2	<1	<0.2	30	<0.05
AY0299	<5	<0.2	<1	<0.2	30	<0.05
AY0300	<5	<0.2	<1	<0.2	20	<0.05
AY0301	<5	<0.2	<1	<0.2	30	<0.05
AY0302	<5	<0.2	<1	<0.2	30	<0.05
AY0303	<5	<0.2	<1	<0.2	20	<0.05
AY0304	<5	<0.2	<1	<0.2	50	<0.05
AY0305	<5	<0.2	<1	<0.2	50	<0.05

Table 1 Results of Soil Analysis(Mba West Area)

Sample No	Au (ppb)	Ag (ppm)	As (ppm)	Sb (ppm)	Hg (ppb)	Te (ppm)
AY0407	<5	<0.2	<1	<0.2	30	<0.05
AY0408	<5	<0.2	<1	<0.2	30	<0.05
AY0410	<5	<0.2	<1	<0.2	40	<0.05
AY0411	<5	<0.2	<1	<0.2	270	<0.05
AY0412	<5	<0.2	<1	<0.2	30	<0.05
AY0413	<5	<0.2	<1	<0.2	120	<0.05
AY0414	<5	<0.2	<1	<0.2	30	<0.05
AY0415	<5	<0.2	<1	<0.2	50	<0.05
AY0416	<5	<0.2	<1	<0.2	30	<0.05
AY0417	<5	<0.2	<1	<0.2	20	<0.05
AY0418	<5	<0.2	<1	<0.2	20	<0.05
AY0419	<5	<0.2	<1	<0.2	20	<0.05
AY0420	<5	<0.2	<1	<0.2	20	<0.05
AY0421	<5	<0.2	<1	<0.2	30	<0.05
AY0422	<5	<0.2	<1	<0.2	40	<0.05
AY0423	<5	<0.2	<1	<0.2	40	<0.05
AY0424	<5	<0.2	<1	<0.2	60	<0.05
AY0425	<5	<0.2	<1	<0.2	100	<0.05
AY0426	<5	<0.2	<1	<0.2	110	<0.05
AY0427	<5	<0.2	<1	<0.2	70	<0.05
AY0428	<5	<0.2	<1	<0.2	40	<0.05
AY0429	<5	<0.2	<1	<0.2	40	<0.05
AY0430	<5	<0.2	<1	<0.2	40	<0.05
AY0431	<5	<0.2	<1	<0.2	40	<0.05
AY0432	<5	<0.2	<1	<0.2	50	<0.05
AY0433	<5	<0.2	<1	<0.2	60	<0.05
AY0434	<5	<0.2	<1	<0.2	70	<0.05
AY0435	<5	<0.2	<1	<0.2	60	<0.05
AY0436	<5	<0.2	<1	<0.2	50	<0.05
AY0437	<5	<0.2	<1	<0.2	50	<0.05
AY0438	<5	<0.2	<1	<0.2	60	<0.05
AY0439	<5	<0.2	<1	<0.2	50	<0.05
AY0440	<5	<0.2	<1	<0.2	40	<0.05
AY0441	<5	<0.2	<1	<0.2	60	<0.05
AY0442	<5	<0.2	2	<0.2	40	<0.05
AY0443	<5	<0.2	<1	<0.2	50	<0.05
AY0444	<5	<0.2	<1	<0.2	70	<0.05
AY0445	<5	<0.2	<1	<0.2	50	<0.05
AY0446	<5	<0.2	<1	<0.2	60	<0.05
AY0447	<5	<0.2	<1	<0.2	60	<0.05
AY0448	<5	<0.2	<1	<0.2	90	<0.05
AY0449	<5	<0.2	<1	<0.2	60	<0.05
AY0450	<5	<0.2	<1	<0.2	70	<0.05
AY0451	<5	<0.2	<1	<0.2	50	<0.05
AY0452	<5	<0.2	<1	<0.2	90	<0.05
AY0453	<5	<0.2	<1	<0.2	60	<0.05
AY0454	<5	<0.2	<1	<0.2	70	<0.05
AY0455	<5	<0.2	<1	<0.2	90	<0.05
AY0456	<5	<0.2	<1	<0.2	100	<0.05
AY0457	<5	<0.2	<1	<0.2	70	<0.05

Sample No	Au (ppb)	Ag (ppm)	As (ppm)	Sb (ppm)	Hg (ppb)	Te (ppm)
AY0458	<5	<0.2	<1	<0.2	60	<0.05
AY0459	<5	<0.2	<1	<0.2	70	<0.05
AY0460	<5	<0.2	<1	<0.2	90	<0.05
AY0461	<5	<0.2	<1	<0.2	90	<0.05
AY0462	<5	<0.2	<1	<0.2	120	<0.05
AY0463	<5	<0.2	<1	<0.2	110	<0.05
AY0464	<5	<0.2	1	<0.2	130	<0.05
AY0465	<5	<0.2	<1	<0.2	80	<0.05
AY0466	<5	<0.2	<1	<0.2	90	<0.05
AY0467	<5	<0.2	<1	<0.2	50	<0.05
AY0468	<5	<0.2	<1	<0.2	40	<0.05
AY0469	<5	<0.2	<1	<0.2	50	<0.05
AY0470	<5	<0.2	<1	<0.2	80	<0.05
AY0471	<5	<0.2	<1	<0.2	100	<0.05
AY0472	<5	<0.2	<1	<0.2	50	<0.05
AY0473	<5	<0.2	<1	<0.2	60	<0.05
AY0474	<5	<0.2	<1	<0.2	100	<0.05
AY0475	<5	<0.2	<1	<0.2	70	<0.05
AY0476	<5	<0.2	<1	0.2	80	<0.05
AY0477	<5	<0.2	<1	<0.2	80	<0.05
AY0478	<5	<0.2	<1	<0.2	60	<0.05
AY0479	<5	<0.2	<1	0.2	20	<0.05
AY0480	<5	<0.2	<1	0.2	70	<0.05
AY0481	<5	<0.2	<1	<0.2	70	<0.05
AY0482	<5	<0.2	<1	<0.2	50	<0.05
AY0483	<5	<0.2	<1	<0.2	40	<0.05
AY0484	<5	<0.2	<1	<0.2	60	<0.05
AY0485	<5	<0.2	<1	<0.2	130	<0.05
AY0486	<5	<0.2	<1	<0.2	120	<0.05
AY0487	<5	<0.2	<1	0.2	110	<0.05
AY0488	<5	<0.2	<1	<0.2	170	<0.05
AY0489	<5	<0.2	<1	<0.2	130	<0.05
AY0490	<5	<0.2	<1	<0.2	90	<0.05
AY0491	<5	<0.2	<1	<0.2	80	<0.05
AY0492	<5	<0.2	<1	<0.2	120	<0.05
AY0493	<5	<0.2	<1	<0.2	120	<0.05
AY0494	<5	<0.2	1	<0.2	100	<0.05
AY0495	<5	<0.2	3	<0.2	80	0.10
AY0496	<5	<0.2	3	0.2	100	0.05
AY0497	<5	<0.2	3	<0.2	110	0.15
AY0498	<5	<0.2	2	<0.2	90	0.05
AY0499	<5	<0.2	3	0.2	70	<0.05
AY0500	<5	<0.2	2	<0.2	80	<0.05
AY0501	<5	<0.2	2	<0.2	80	<0.05
AY0502	<5	<0.2	1	<0.2	130	<0.05
AY0503	<5	<0.2	2	<0.2	150	<0.05
AY0504	<5	<0.2	2	0.2	140	<0.05
AY0505	<5	<0.2	1	<0.2	70	<0.05
AY0506	<5	<0.2	1	0.2	80	<0.05
AY0507	<5	<0.2	1	0.2	50	<0.05

Table 1 Results of Soil Analysis(Mba West Area)

Sample No.	Au (ppb)	Ag (ppm)	As (ppm)	Sb (ppm)	Hg (ppb)	Te (ppm)
AY0558	<5	<0.2	1	<0.2	110	<0.05
AY0559	<5	<0.2	1	<0.2	70	<0.05
AY0560	<5	<0.2	1	<0.2	80	<0.05
AY0561	<5	<0.2	1	<0.2	100	<0.05
AY0562	<5	<0.2	1	<0.2	50	0.05
AY0563	<5	<0.2	1	<0.2	70	<0.05
AY0564	<5	<0.2	1	<0.2	70	<0.05
AY0565	<5	<0.2	1	<0.2	100	<0.05
AY0566	<5	<0.2	1	<0.2	50	0.05
AY0567	<5	<0.2	1	<0.2	60	0.10
AY0568	<5	<0.2	1	<0.2	70	0.05
AY0569	<5	<0.2	1	<0.2	60	0.05
AY0570	<5	<0.2	1	<0.2	30	<0.05
AY0571	<5	<0.2	<1	<0.2	180	<0.05
AY0572	<5	<0.2	1	<0.2	170	<0.05
AY0573	<5	<0.2	1	<0.2	70	0.05
AY0574	<5	<0.2	1	<0.2	70	<0.05
AY0575	<5	<0.2	1	<0.2	50	<0.05
AY0576	<5	<0.2	<1	<0.2	60	<0.05
AY0577	<5	<0.2	<1	<0.2	40	<0.05
AY0578	<5	<0.2	<1	<0.2	60	<0.05
AY0579	<5	<0.2	<1	<0.2	60	<0.05
AY0580	<5	<0.2	<1	<0.2	70	<0.05
AY0581	<5	<0.2	3	<0.2	40	0.05
AY0582	<5	<0.2	<1	<0.2	50	<0.05
AY0583	5	<0.2	<1	<0.2	50	0.05
AY0584	10	<0.2	<1	<0.2	70	<0.05
AY0585	15	<0.2	<1	<0.2	40	0.05
AY0586	10	<0.2	1	<0.2	200	<0.05
AY0587	20	<0.2	<1	<0.2	160	0.05
AY0588	<5	<0.2	1	<0.2	50	<0.05
AY0589	<5	<0.2	<1	<0.2	70	<0.05
AY0590	<5	<0.2	<1	<0.2	40	<0.05
AY0591	<5	<0.2	1	<0.2	50	<0.05
AY0592	<5	<0.2	2	<0.2	50	<0.05
AY0593	<5	<0.2	1	<0.2	60	<0.05
AY0594	<5	<0.2	1	<0.2	100	<0.05
AY0595	<5	<0.2	1	<0.2	80	<0.05
AY0596	<5	<0.2	1	<0.2	70	<0.05
AY0597	<5	<0.2	1	<0.2	70	<0.05
AY0598	<5	<0.2	1	<0.2	80	<0.05
AY0599	<5	<0.2	1	<0.2	60	<0.05
AY0600	<5	<0.2	<1	<0.2	60	<0.05
AY0601	<5	<0.2	<1	<0.2	50	<0.05
AY0602	<5	<0.2	2	<0.2	100	<0.05
AY0603	<5	<0.2	2	<0.2	150	<0.05
AY0604	<5	<0.2	2	<0.2	110	<0.05
AY0605	<5	<0.2	1	<0.2	120	<0.05
AY0606	<5	<0.2	3	0.2	50	<0.05
AY0607	<5	<0.2	2	<0.2	120	<0.05

Sample No.	Au (ppb)	Ag (ppm)	As (ppm)	Sb (ppm)	Hg (ppb)	Te (ppm)
AY0508	<5	<0.2	1	<0.2	50	<0.05
AY0509	<5	<0.2	1	<0.2	90	<0.05
AY0510	<5	<0.2	3	<0.2	60	<0.05
AY0511	<5	<0.2	2	<0.2	70	<0.05
AY0512	<5	<0.2	1	<0.2	70	<0.05
AY0513	<5	<0.2	1	<0.2	50	<0.05
AY0514	<5	<0.2	2	<0.2	50	<0.05
AY0515	<5	<0.2	2	<0.2	60	<0.05
AY0516	<5	<0.2	2	<0.2	150	<0.05
AY0517	<5	<0.2	1	<0.2	190	<0.05
AY0518	<5	<0.2	<1	<0.2	230	<0.05
AY0519	<5	<0.2	<1	<0.2	110	<0.05
AY0520	<5	<0.2	<1	<0.2	310	<0.05
AY0521	<5	<0.2	<1	<0.2	80	<0.05
AY0522	<5	<0.2	<1	<0.2	90	<0.05
AY0523	<5	<0.2	<1	<0.2	130	<0.05
AY0524	<5	<0.2	<1	<0.2	40	<0.05
AY0525	<5	<0.2	<1	<0.2	50	<0.05
AY0526	<5	<0.2	<1	<0.2	50	<0.05
AY0527	<5	<0.2	<1	<0.2	50	<0.05
AY0528	<5	<0.2	<1	<0.2	60	<0.05
AY0529	<5	<0.2	<1	<0.2	70	<0.05
AY0530	<5	<0.2	<1	<0.2	70	<0.05
AY0531	<5	<0.2	3	<0.2	140	<0.05
AY0532	<5	<0.2	3	<0.2	60	<0.05
AY0533	<5	<0.2	3	<0.2	130	<0.05
AY0534	<5	<0.2	2	<0.2	120	<0.05
AY0535	<5	<0.2	6	<0.2	90	<0.05
AY0536	<5	<0.2	2	<0.2	50	<0.05
AY0537	<5	<0.2	4	<0.2	100	0.10
AY0538	<5	<0.2	3	<0.2	70	<0.05
AY0539	<5	<0.2	3	<0.2	70	<0.05
AY0540	<5	<0.2	2	<0.2	70	<0.05
AY0541	<5	<0.2	2	<0.2	70	<0.05
AY0542	<5	<0.2	2	<0.2	50	<0.05
AY0543	<5	<0.2	1	<0.2	80	<0.05
AY0544	<5	<0.2	1	<0.2	30	<0.05
AY0545	<5	<0.2	2	<0.2	50	<0.05
AY0546	<5	<0.2	2	<0.2	30	<0.05
AY0547	<5	<0.2	1	<0.2	50	<0.05
AY0548	<5	<0.2	6	<0.2	90	0.05
AY0549	<5	<0.2	1	<0.2	60	0.05
AY0550	<5	<0.2	1	<0.2	50	<0.05
AY0551	<5	<0.2	4	<0.2	90	0.15
AY0552	<5	<0.2	3	<0.2	50	0.05
AY0553	<5	<0.2	3	<0.2	30	1.05
AY0554	<5	<0.2	2	<0.2	50	0.15
AY0555	<5	<0.2	2	<0.2	100	0.05
AY0556	<5	<0.2	6	<0.2	90	0.15
AY0557	<5	<0.2	1	<0.2	70	<0.05

Table 1 Results of Soil Analysis(Mba West Area)

Sample No	Au (ppb)	Ag (ppm)	As (ppm)	Sb (ppm)	Hg (ppb)	Te (ppm)
AY0608	<5	<0.2	1	<0.2	80	<0.05
AY0609	<5	<0.2	<1	<0.2	40	<0.05
AY0610	<5	<0.2	<1	<0.2	60	<0.05
AY0611	<5	<0.2	<1	<0.2	50	<0.05
AY0612	<5	<0.2	<1	<0.2	50	<0.05
AY0613	<5	<0.2	1	<0.2	70	0.05
AY0614	<5	<0.2	6	<0.2	70	0.75
AY0615	<5	<0.2	3	<0.2	100	0.05
AY0616	<5	<0.2	<1	<0.2	50	<0.05
AY0617	<5	<0.2	<1	<0.2	50	<0.05
AY0618	<5	<0.2	2	<0.2	70	<0.05
AY0619	<5	<0.2	<1	<0.2	70	<0.05
AY0620	<5	<0.2	<1	<0.2	110	0.05
AY0621	<5	<0.2	<1	<0.2	60	<0.05
AY0622	<5	<0.2	<1	<0.2	90	<0.05
AY0623	<5	<0.2	<1	<0.2	90	<0.05
AY0624	<5	<0.2	<1	<0.2	60	<0.05
AY0625	<5	<0.2	<1	<0.2	60	<0.05
AY0626	<5	<0.2	<1	<0.2	50	0.05
AY0627	<5	<0.2	<1	<0.2	30	<0.05
AY0628	<5	<0.2	<1	<0.2	50	<0.05
AY0629	<5	<0.2	1	<0.2	100	0.05
AY0630	<5	<0.2	3	<0.2	50	<0.05
AY0631	<5	<0.2	<1	<0.2	50	<0.05
AY0632	<5	<0.2	1	<0.2	40	<0.05
AY0633	<5	<0.2	1	<0.2	40	<0.05
AY0634	<5	<0.2	4	<0.2	30	<0.05
AY0635	<5	<0.2	1	<0.2	20	<0.05
AY0636	<5	<0.2	2	<0.2	30	0.05
AY0637	<5	<0.2	2	<0.2	110	0.05
AY0638	<5	<0.2	2	<0.2	70	<0.05
AY0639	<5	<0.2	1	<0.2	40	<0.05
AY0640	<5	<0.2	2	<0.2	70	<0.05
AY0641	<5	<0.2	2	<0.2	30	<0.05
AY0642	<5	<0.2	2	<0.2	30	0.10
AY0643	<5	<0.2	4	<0.2	20	<0.05
AY0644	<5	<0.2	2	<0.2	40	<0.05
AY0645	<5	<0.2	2	<0.2	40	<0.05
AY0646	<5	<0.2	2	<0.2	30	<0.05
AY0647	<5	<0.2	1	<0.2	30	<0.05
AY0648	<5	<0.2	2	<0.2	40	<0.05
AY0649	<5	<0.2	1	<0.2	30	<0.05
AY0650	<5	<0.2	1	<0.2	30	<0.05
AY0651	<5	<0.2	1	<0.2	30	<0.05
AY0652	<5	<0.2	2	<0.2	40	<0.05
AY0653	<5	<0.2	1	<0.2	30	<0.05
AY0654	<5	<0.2	1	<0.2	30	<0.05
AY0655	<5	<0.2	<1	<0.2	40	<0.05
AY0656	<5	<0.2	<1	<0.2	60	<0.05
AY0657	<5	<0.2	<1	<0.2	50	<0.05

Sample No	Au (ppb)	Ag (ppm)	As (ppm)	Sb (ppm)	Hg (ppb)	Te (ppm)
AY0658	<5	<0.2	<1	<0.2	50	<0.05
AY0659	<5	<0.2	<1	<0.2	30	<0.05

Table 1 Results of Soil Analysis(Mba West Area)

Sample No	Au (ppb)	Ag (ppm)	As (ppm)	Sb (ppm)	Hg (ppb)	Te (ppm)
KK0001	<5	<0.2	<1	<0.2	30	0.05
KK0009	<5	<0.2	<1	<0.2	50	<0.05
KK0010	5	<0.2	<1	<0.2	70	0.05
KK0011	<5	<0.2	<1	<0.2	90	<0.05
KK0012	<5	<0.2	<1	<0.2	50	<0.05
KK0013	<5	<0.2	<1	<0.2	40	<0.05
KK0014	<5	<0.2	<1	<0.2	40	<0.05
KK0015	<5	<0.2	<1	<0.2	30	<0.05
KK0016	5	<0.2	1	<0.2	30	<0.05
KK0017	<5	<0.2	<1	<0.2	40	<0.05
KK0018	<5	<0.2	<1	<0.2	30	<0.05
KK0019	<5	<0.2	<1	<0.2	30	<0.05
KK0020	<5	<0.2	<1	<0.2	20	<0.05
KK0021	<5	<0.2	<1	<0.2	10	<0.05
KK0022	<5	<0.2	<1	<0.2	30	<0.05
KK0023	<5	<0.2	<1	<0.2	20	<0.05
KK0024	<5	<0.2	<1	<0.2	30	<0.05
KK0025	<5	<0.2	<1	<0.2	40	<0.05
KK0026	<5	<0.2	1	<0.2	40	<0.05
KK0027	<5	<0.2	1	<0.2	50	<0.05
KK0028	<5	<0.2	2	<0.2	30	<0.05
KK0029	<5	<0.2	1	<0.2	50	<0.05
KK0030	<5	<0.2	2	<0.2	130	<0.05
KK0031	<5	<0.2	<1	<0.2	30	<0.05
KK0032	<5	<0.2	1	<0.2	40	<0.05
KK0033	<5	<0.2	<1	<0.2	40	<0.05
KK0034	<5	<0.2	<1	<0.2	40	<0.05
KK0035	<5	<0.2	<1	<0.2	30	<0.05
KK0036	10	<0.2	2	<0.2	50	<0.05
KK0037	15	<0.2	1	<0.2	20	0.45
KK0038	5	<0.2	2	<0.2	20	<0.05
KK0039	<5	<0.2	<1	<0.2	20	<0.05
KK0040	<5	<0.2	1	<0.2	20	<0.05
KK0041	<5	<0.2	1	<0.2	10	<0.05
KK0042	5	<0.2	<1	<0.2	20	<0.05
KK0043	<5	<0.2	<1	<0.2	20	<0.05
KK0044	<5	<0.2	<1	<0.2	50	<0.05
KK0045	<5	<0.2	1	<0.2	30	<0.05
KK0046	<5	<0.2	1	<0.2	50	<0.05
KK0047	<5	<0.2	1	<0.2	40	<0.05
KK0048	<5	<0.2	<1	<0.2	30	<0.05
KK0049	<5	<0.2	<1	<0.2	50	<0.05
KK0050	<5	<0.2	1	<0.2	30	<0.05
KK0051	10	<0.2	1	<0.2	20	<0.05
KK0052	20	<0.2	1	<0.2	20	<0.05
KK0053	<5	<0.2	<1	<0.2	20	<0.05
KK0054	<5	<0.2	<1	<0.2	20	<0.05
KK0055	10	<0.2	<1	<0.2	30	<0.05
KK0056	10	<0.2	<1	<0.2	40	<0.05
KK0057	15	<0.2	<1	<0.2	20	<0.05

Sample No	Au (ppb)	Ag (ppm)	As (ppm)	Sb (ppm)	Hg (ppb)	Te (ppm)
KK0058	<5	<0.2	<1	<0.2	20	<0.05
KK0059	<5	<0.2	1	<0.2	20	<0.05
KK0060	<5	<0.2	<1	<0.2	40	<0.05
KK0061	<5	<0.2	1	<0.2	80	<0.05
KK0062	<5	<0.2	<1	<0.2	70	<0.05
KK0063	<5	<0.2	1	<0.2	40	<0.05
KK0064	10	<0.2	2	<0.2	30	0.05
KK0065	30	<0.2	3	<0.2	30	0.05
KK0066	10	<0.2	1	<0.2	30	<0.05
KK0067	<5	<0.2	1	<0.2	20	<0.05
KK0068	15	<0.2	<1	<0.2	20	<0.05
KK0069	20	<0.2	1	<0.2	30	0.05
KK0070	40	<0.2	1	<0.2	20	0.05
KK0071	<5	<0.2	1	<0.2	20	0.05
KK0072	<5	<0.2	1	<0.2	40	<0.05
KK0073	<5	<0.2	1	<0.2	20	0.05
KK0074	<5	<0.2	1	<0.2	30	<0.05
KK0075	<5	<0.2	<1	<0.2	20	<0.05
KK0076	<5	<0.2	1	<0.2	30	0.05
KK0077	<5	<0.2	1	<0.2	10	<0.05
KK0078	<5	<0.2	1	<0.2	20	<0.05
KK0079	<5	<0.2	<1	0.4	20	<0.05
KK0080	<5	<0.2	2	<0.2	20	0.10
KK0081	<5	<0.2	2	<0.2	10	0.15
KK0082	<5	<0.2	3	<0.2	20	0.15
KK0083	<5	<0.2	<1	<0.2	10	0.05
KK0084	<5	<0.2	6	<0.2	20	0.45
KK0085	<5	<0.2	4	<0.2	20	0.15
KK0086	<5	<0.2	4	<0.2	30	0.20
KK0087	<5	<0.2	<1	<0.2	50	0.05
KK0088	<5	<0.2	<1	<0.2	30	<0.05
KK0089	<5	<0.2	<1	<0.2	20	<0.05
KK0090	<5	<0.2	1	<0.2	50	<0.05
KK0091	<5	<0.2	1	<0.2	40	0.05
KK0092	<5	<0.2	1	<0.2	30	0.05
KK0093	<5	<0.2	<1	<0.2	20	<0.05
KK0094	<5	<0.2	1	<0.2	20	<0.05
KK0095	<5	<0.2	<1	<0.2	20	<0.05
KK0096	<5	<0.2	3	<0.2	30	<0.05
KK0097	<5	<0.2	<1	<0.2	30	0.05
KK0098	<5	<0.2	1	<0.2	30	<0.05
KK0099	<5	<0.2	<1	<0.2	50	0.05
KK0100	<5	<0.2	1	<0.2	70	0.05
KK0101	<5	<0.2	1	<0.2	60	0.05
KK0102	<5	<0.2	1	<0.2	70	0.05
KK0103	<5	<0.2	1	<0.2	50	<0.05
KK0104	<5	<0.2	1	<0.2	60	<0.05
KK0105	<5	<0.2	<1	<0.2	30	<0.05
KK0106	<5	<0.2	1	<0.2	30	0.05
KK0107	<5	<0.2	<1	<0.2	50	<0.05

Table 1 Results of Soil Analysis (Mba West Area)

Sample No.	Au (ppb)	Ag (ppm)	As (ppm)	Sb (ppm)	Hg (ppb)	Te (ppm)
KK0108	<5	<0.2	1	<0.2	30	0.05
KK0109	<5	<0.2	<1	<0.2	30	<0.05
KK0110	<5	<0.2	<1	<0.2	40	<0.05
KK0111	<5	<0.2	<1	<0.2	50	<0.05
KK0112	<5	<0.2	<1	<0.2	70	<0.05
KK0113	<5	<0.2	<1	<0.2	50	<0.05
KK0114	<5	<0.2	1	<0.2	50	<0.05
KK0115	<5	<0.2	1	<0.2	50	<0.05
KK0116	<5	<0.2	1	<0.2	50	<0.05
KK0117	<5	<0.2	1	<0.2	50	<0.05
KK0118	<5	<0.2	1	<0.2	60	<0.05
KK0119	<5	<0.2	1	<0.2	70	<0.05
KK0122	<5	<0.2	<1	<0.2	50	<0.05
KK0123	<5	<0.2	<1	<0.2	40	<0.05
KK0124	<5	<0.2	<1	<0.2	40	<0.05
KK0125	<5	<0.2	<1	<0.2	60	<0.05
KK0126	<5	<0.2	<1	<0.2	70	<0.05
KK0127	<5	<0.2	<1	<0.2	50	<0.05
KK0128	<5	<0.2	<1	<0.2	50	<0.05
KK0129	<5	<0.2	1	<0.2	60	<0.05
KK0130	<5	<0.2	1	<0.2	60	<0.05
KK0131	<5	<0.2	1	<0.2	50	<0.05
KK0132	<5	<0.2	<1	<0.2	50	<0.05
KK0133	<5	<0.2	<1	<0.2	20	<0.05
KK0134	<5	<0.2	<1	<0.2	40	<0.05
KK0135	<5	<0.2	<1	<0.2	70	<0.05
KK0136	<5	<0.2	<1	<0.2	60	<0.05
KK0137	<5	<0.2	<1	<0.2	40	<0.05
KK0138	<5	<0.2	<1	<0.2	20	<0.05
KK0139	<5	<0.2	<1	<0.2	20	<0.05
KK0140	<5	<0.2	<1	<0.2	30	<0.05
KK0141	<5	<0.2	<1	<0.2	40	<0.05
KK0142	<5	<0.2	<1	<0.2	40	<0.05
KK0143	<5	<0.2	<1	<0.2	30	<0.05
KK0144	<5	<0.2	<1	<0.2	30	<0.05
KK0145	<5	<0.2	<1	<0.2	40	<0.05
KK0146	<5	<0.2	<1	<0.2	40	0.05
KK0147	<5	<0.2	4	<0.2	40	<0.05
KK0148	<5	<0.2	3	<0.2	30	<0.05
KK0149	<5	<0.2	1	<0.2	50	<0.05
KK0150	<5	<0.2	2	<0.2	40	<0.05
KK0151	<5	<0.2	1	<0.2	40	<0.05
KK0152	<5	<0.2	<1	<0.2	40	<0.05
KK0153	<5	<0.2	<1	<0.2	40	<0.05
KK0154	<5	<0.2	<1	<0.2	30	<0.05
KK0155	<5	<0.2	<1	<0.2	20	<0.05
KK0156	<5	<0.2	<1	<0.2	60	<0.05
KK0157	<5	<0.2	<1	<0.2	40	<0.05
KK0158	<5	<0.2	1	<0.2	40	<0.05
KK0159	<5	<0.2	1	<0.2	40	<0.05

Sample No.	Au (ppb)	Ag (ppm)	As (ppm)	Sb (ppm)	Hg (ppb)	Te (ppm)
KK0160	<5	<0.2	1	<0.2	20	<0.05
KK0161	<5	<0.2	1	<0.2	30	<0.05
KK0162	<5	<0.2	<1	<0.2	30	<0.05
KK0163	<5	<0.2	<1	<0.2	40	<0.05
KK0164	<5	<0.2	<1	<0.2	40	<0.05
KK0165	<5	<0.2	<1	<0.2	40	<0.05
KK0166	<5	<0.2	<1	<0.2	30	<0.05
KK0167	<5	<0.2	<1	<0.2	40	<0.05
KK0168	<5	<0.2	<1	<0.2	40	<0.05
KK0169	<5	<0.2	<1	<0.2	40	<0.05
KK0170	<5	<0.2	<1	<0.2	50	<0.05
KK0171	<5	<0.2	<1	<0.2	50	<0.05
KK0172	<5	<0.2	<1	<0.2	90	<0.05
KK0173	<5	<0.2	<1	<0.2	120	<0.05
KK0174	<5	<0.2	<1	<0.2	70	<0.05
KK0175	<5	<0.2	<1	<0.2	30	<0.05
KK0176	<5	<0.2	<1	<0.2	40	<0.05
KK0177	<5	<0.2	<1	<0.2	20	<0.05
KK0178	<5	<0.2	<1	<0.2	30	<0.05
KK0179	<5	<0.2	<1	<0.2	30	<0.05
KK0180	<5	<0.2	1	<0.2	270	<0.05
KK0181	<5	<0.2	<1	<0.2	50	<0.05
KK0182	<5	<0.2	<1	<0.2	60	<0.05
KK0183	<5	<0.2	<1	<0.2	40	<0.05
KK0184	<5	<0.2	1	<0.2	40	<0.05
KK0185	<5	<0.2	<1	<0.2	30	<0.05
KK0186	<5	<0.2	<1	<0.2	40	<0.05
KK0187	<5	<0.2	<1	<0.2	60	<0.05
KK0188	<5	<0.2	<1	<0.2	50	<0.05
KK0189	<5	<0.2	<1	<0.2	70	<0.05
KK0190	<5	<0.2	<1	<0.2	40	<0.05
KK0191	<5	<0.2	<1	<0.2	50	<0.05
KK0192	<5	<0.2	<1	<0.2	60	<0.05
KK0193	<5	<0.2	<1	<0.2	60	<0.05
KK0194	<5	<0.2	<1	<0.2	60	<0.05
KK0195	<5	<0.2	<1	<0.2	60	<0.05
KK0196	<5	<0.2	<1	<0.2	70	<0.05
KK0197	<5	<0.2	<1	<0.2	50	<0.05
KK0198	<5	<0.2	<1	<0.2	60	<0.05
KK0199	<5	<0.2	<1	<0.2	50	<0.05
KK0200	<5	<0.2	<1	<0.2	50	<0.05
KK0201	<5	<0.2	<1	<0.2	50	<0.05
KK0202	<5	<0.2	<1	<0.2	20	<0.05
KK0203	<5	<0.2	<1	<0.2	20	<0.05
KK0204	<5	<0.2	<1	<0.2	20	<0.05
KK0205	<5	<0.2	<1	<0.2	30	<0.05
KK0206	<5	<0.2	<1	<0.2	30	<0.05
KK0207	<5	<0.2	<1	<0.2	150	<0.05
KK0208	<5	<0.2	<1	<0.2	50	<0.05
KK0209	<5	<0.2	<1	<0.2	40	<0.05

Table 1 Results of Soil Analysis(Mba West Area)

Sample No	Au (ppb)	Ag (ppm)	As (ppm)	Sb (ppm)	Hg (ppb)	Tc (ppm)
KK0210	<5	<0.2	<1	<0.2	40	<0.05
KK0211	<5	<0.2	<1	<0.2	30	<0.05
KK0212	<5	<0.2	<1	<0.2	30	<0.05
KK0213	<5	<0.2	<1	<0.2	30	<0.05
KK0214	<5	<0.2	<1	<0.2	30	<0.05
KK0215	<5	<0.2	<1	<0.2	20	<0.05
KK0216	<5	<0.2	<1	<0.2	30	<0.05
KK0217	<5	<0.2	<1	<0.2	20	<0.05
KK0218	<5	<0.2	<1	<0.2	40	<0.05
KK0219	<5	<0.2	<1	<0.2	40	<0.05
KK0220	<5	<0.2	<1	<0.2	30	<0.05
KK0221	<5	<0.2	<1	<0.2	60	<0.05
KK0222	<5	<0.2	<1	<0.2	50	<0.05
KK0223	<5	<0.2	<1	<0.2	70	<0.05
KK0224	<5	<0.2	<1	<0.2	70	<0.05
KK0225	<5	<0.2	<1	<0.2	60	<0.05
KK0226	<5	<0.2	<1	<0.2	70	<0.05
KK0227	<5	<0.2	<1	<0.2	70	<0.05
KK0228	<5	<0.2	<1	<0.2	80	<0.05
KK0229	<5	<0.2	<1	<0.2	50	<0.05
KK0230	<5	<0.2	<1	<0.2	40	<0.05
KK0231	<5	<0.2	<1	<0.2	70	<0.05
KK0232	<5	<0.2	<1	<0.2	40	<0.05
KK0233	<5	<0.2	<1	<0.2	30	<0.05
KK0234	<5	<0.2	<1	<0.2	30	<0.05
KK0235	<5	<0.2	<1	<0.2	40	<0.05
KK0236	<5	<0.2	<1	<0.2	30	<0.05
KK0237	<5	<0.2	<1	<0.2	30	<0.05
KK0238	<5	<0.2	<1	<0.2	40	<0.05
KK0239	<5	<0.2	<1	<0.2	40	<0.05
KK0240	<5	<0.2	<1	<0.2	30	<0.05
KK0241	<5	<0.2	<1	<0.2	40	<0.05
KK0242	<5	<0.2	<1	<0.2	50	<0.05
KK0243	<5	<0.2	<1	<0.2	40	<0.05
KK0244	<5	<0.2	<1	<0.2	40	<0.05
KK0245	<5	<0.2	<1	<0.2	20	0.05
KK0246	<5	<0.2	<1	<0.2	20	<0.05
KK0247	<5	<0.2	<1	<0.2	20	<0.05
KK0248	<5	<0.2	<1	<0.2	20	<0.05
KK0249	<5	<0.2	<1	<0.2	30	<0.05
KK0250	<5	<0.2	<1	<0.2	20	<0.05
KK0251	<5	<0.2	<1	<0.2	10	<0.05
KK0252	<5	<0.2	<1	<0.2	10	<0.05
KK0253	<5	<0.2	<1	<0.2	20	<0.05
KK0254	<5	<0.2	<1	<0.2	20	<0.05
KK0255	<5	<0.2	<1	<0.2	20	<0.05
KK0256	<5	<0.2	<1	<0.2	50	<0.05
KK0257	<5	<0.2	<1	<0.2	30	<0.05
KK0258	<5	<0.2	<1	<0.2	10	<0.05
KK0259	<5	<0.2	<1	<0.2	20	<0.05

Sample No	Au (ppb)	Ag (ppm)	As (ppm)	Sb (ppm)	Hg (ppb)	Fe (ppm)
KK0260	<5	<0.2	<1	<0.2	20	<0.05
KK0261	<5	<0.2	<1	<0.2	20	<0.05
KK0262	<5	<0.2	<1	<0.2	30	<0.05
KK0263	<5	<0.2	<1	<0.2	30	<0.05
KK0264	<5	<0.2	<1	<0.2	20	<0.05
KK0265	<5	<0.2	<1	<0.2	30	<0.05
KK0266	<5	<0.2	<1	<0.2	20	<0.05
KK0267	<5	<0.2	<1	<0.2	30	<0.05
KK0268	<5	<0.2	<1	<0.2	40	0.10
KK0269	<5	<0.2	<1	<0.2	40	<0.05
KK0270	<5	<0.2	<1	<0.2	30	<0.05
KK0271	<5	<0.2	<1	0.2	30	<0.05
KK0272	<5	<0.2	<1	0.2	40	<0.05
KK0273	<5	<0.2	<1	<0.2	10	<0.05
KK0274	<5	<0.2	<1	0.2	20	<0.05
KK0275	<5	<0.2	<1	0.2	40	<0.05
KK0276	<5	<0.2	<1	<0.2	20	<0.05
KK0277	<5	<0.2	<1	<0.2	80	<0.05
KK0278	<5	<0.2	1	<0.2	50	<0.05
KK0279	<5	<0.2	<1	<0.2	30	<0.05
KK0280	<5	<0.2	<1	<0.2	20	<0.05
KK0281	<5	<0.2	<1	0.2	40	<0.05
KK0282	<5	<0.2	<1	0.2	70	<0.05
KK0283	<5	<0.2	<1	0.2	60	<0.05
KK0284	<5	<0.2	<1	<0.2	60	<0.05
KK0285	<5	<0.2	<1	0.2	120	<0.05
KK0286	<5	<0.2	<1	0.2	90	<0.05
KK0287	<5	<0.2	1	0.2	50	<0.05
KK0288	<5	<0.2	<1	0.6	80	<0.05
KK0289	<5	<0.2	<1	<0.2	30	<0.05
KK0290	<5	<0.2	<1	0.2	40	<0.05
KK0291	<5	<0.2	<1	0.2	70	<0.05
KK0292	<5	<0.2	<1	0.2	50	<0.05
KK0293	<5	<0.2	<1	0.2	40	<0.05
KK0294	<5	<0.2	<1	0.2	50	<0.05
KK0295	<5	<0.2	<1	0.2	20	<0.05
KK0296	<5	<0.2	<1	0.2	80	<0.05
KK0297	<5	<0.2	<1	<0.2	70	<0.05
KK0298	<5	<0.2	<1	0.2	80	<0.05
KK0299	<5	<0.2	<1	0.2	80	<0.05
KK0300	<5	<0.2	<1	<0.2	100	<0.05
KK0301	<5	<0.2	<1	<0.2	80	<0.05
KK0302	<5	<0.2	<1	<0.2	70	<0.05
KK0303	<5	<0.2	<1	0.2	90	<0.05
KK0304	<5	<0.2	<1	0.2	50	<0.05
KK0305	<5	<0.2	<1	<0.2	20	<0.05
KK0306	<5	<0.2	<1	<0.2	50	<0.05
KK0307	<5	<0.2	<1	0.2	20	<0.05
KK0308	<5	<0.2	<1	<0.2	30	<0.05
KK0309	<5	<0.2	<1	<0.2	30	<0.05

Table 1 Results of Soil Analysis(Mba West Area)

Sample No	Au (ppb)	Ag (ppm)	As (ppm)	Sb (ppm)	Hg (ppb)	Te (ppm)
KK0320	<5	<0.2	<1	0.2	30	<0.05
KK0321	<5	<0.2	<1	0.2	30	<0.05
KK0322	<5	<0.2	<1	<0.2	10	<0.05
KK0323	<5	<0.2	<1	0.2	30	<0.05
KK0324	<5	<0.2	<1	<0.2	20	<0.05
KK0325	<5	<0.2	<1	0.2	20	<0.05
KK0326	<5	<0.2	<1	<0.2	20	<0.05
KK0327	<5	<0.2	<1	<0.2	30	<0.05
KK0328	<5	<0.2	<1	0.2	30	<0.05
KK0329	<5	<0.2	<1	<0.2	20	<0.05
KK0330	<5	<0.2	<1	<0.2	20	<0.05
KK0331	<5	<0.2	<1	<0.2	70	<0.05
KK0332	<5	<0.2	<1	0.2	70	<0.05
KK0333	<5	<0.2	<1	<0.2	30	<0.05
KK0334	<5	<0.2	<1	<0.2	40	<0.05
KK0335	<5	<0.2	<1	<0.2	50	<0.05
KK0336	<5	<0.2	<1	<0.2	60	<0.05
KK0337	<5	<0.2	<1	<0.2	60	<0.05
KK0338	<5	<0.2	<1	<0.2	50	<0.05
KK0339	<5	<0.2	<1	<0.2	30	<0.05
KK0340	<5	<0.2	<1	<0.2	40	<0.05
KK0341	<5	<0.2	<1	<0.2	20	<0.05
KK0342	<5	<0.2	<1	<0.2	50	<0.05
KK0343	<5	<0.2	<1	<0.2	30	0.05
KK0344	<5	<0.2	<1	<0.2	40	<0.05
KK0345	<5	<0.2	<1	<0.2	50	<0.05
KK0346	<5	<0.2	<1	<0.2	50	<0.05
KK0347	<5	<0.2	<1	0.2	40	0.05
KK0348	<5	<0.2	<1	<0.2	40	<0.05
KK0349	<5	<0.2	<1	<0.2	70	<0.05
KK0350	<5	<0.2	<1	<0.2	60	<0.05
KK0351	<5	<0.2	<1	<0.2	40	<0.05
KK0352	<5	<0.2	<1	<0.2	50	<0.05
KK0353	<5	<0.2	<1	<0.2	40	<0.05
KK0354	<5	<0.2	<1	0.2	60	<0.05
KK0355	<5	<0.2	<1	<0.2	40	<0.05
KK0356	<5	<0.2	<1	<0.2	40	<0.05
KK0357	<5	<0.2	<1	<0.2	40	<0.05
KK0358	<5	<0.2	<1	<0.2	40	<0.05
KK0359	<5	<0.2	<1	<0.2	40	<0.05
KK0360	<5	<0.2	<1	<0.2	30	<0.05
KK0361	<5	<0.2	<1	<0.2	30	<0.05
KK0362	<5	<0.2	<1	<0.2	20	<0.05
KK0363	<5	<0.2	<1	<0.2	50	<0.05
KK0364	<5	<0.2	<1	<0.2	30	<0.05
KK0365	<5	<0.2	<1	<0.2	40	<0.05
KK0366	<5	<0.2	<1	<0.2	50	<0.05
KK0367	<5	<0.2	<1	<0.2	50	<0.05
KK0368	<5	<0.2	<1	<0.2	60	<0.05
KK0369	<5	<0.2	<1	<0.2	40	<0.05

Sample No	Au (ppb)	Ag (ppm)	As (ppm)	Sb (ppm)	Hg (ppb)	Te (ppm)
KK0370	<5	<0.2	<1	<0.2	50	<0.05
KK0371	<5	<0.2	<1	<0.2	40	<0.05
KK0372	<5	<0.2	<1	<0.2	40	<0.05
KK0373	<5	<0.2	1	<0.2	50	<0.05
KK0374	<5	<0.2	<1	<0.2	30	<0.05
KK0375	<5	<0.2	<1	<0.2	40	<0.05
KK0376	<5	<0.2	<1	0.2	70	<0.05
KK0377	<5	<0.2	<1	<0.2	30	<0.05
KK0378	<5	<0.2	1	<0.2	50	<0.05
KK0379	<5	<0.2	<1	0.2	50	<0.05
KK0380	<5	<0.2	<1	<0.2	20	<0.05
KK0381	<5	<0.2	<1	<0.2	60	<0.05
KK0382	<5	<0.2	<1	<0.2	20	<0.05
KK0383	<5	<0.2	<1	<0.2	20	<0.05
KK0384	<5	<0.2	<1	<0.2	30	<0.05
KK0385	<5	<0.2	<1	<0.2	40	<0.05
KK0386	<5	<0.2	1	0.2	30	<0.05
KK0387	<5	<0.2	<1	0.2	50	<0.05
KK0388	<5	<0.2	<1	0.2	40	<0.05
KK0389	<5	<0.2	<1	0.4	70	<0.05
KK0390	<5	<0.2	<1	0.2	20	<0.05
KK0391	<5	<0.2	<1	<0.2	30	<0.05
KK0392	<5	<0.2	<1	0.2	40	<0.05
KK0393	<5	<0.2	<1	0.2	20	<0.05
KK0394	<5	<0.2	<1	0.2	30	<0.05
KK0395	<5	<0.2	<1	0.2	40	<0.05
KK0396	<5	<0.2	<1	<0.2	30	<0.05
KK0397	<5	<0.2	<1	<0.2	40	<0.05
KK0398	<5	<0.2	<1	<0.2	40	<0.05
KK0399	<5	<0.2	<1	<0.2	50	<0.05
KK0400	<5	<0.2	<1	<0.2	50	<0.05
KK0401	<5	<0.2	<1	<0.2	30	<0.05
KK0402	<5	<0.2	<1	<0.2	30	<0.05
KK0403	<5	<0.2	<1	<0.2	50	<0.05
KK0404	<5	<0.2	<1	<0.2	40	<0.05
KK0405	<5	<0.2	<1	<0.2	70	<0.05
KK0406	<5	<0.2	<1	<0.2	50	<0.05
KK0407	<5	<0.2	1	<0.2	70	<0.05
KK0408	<5	<0.2	3	<0.2	100	<0.05
KK0409	<5	<0.2	<1	<0.2	40	<0.05
KK0410	<5	<0.2	<1	<0.2	50	<0.05
KK0411	<5	<0.2	<1	<0.2	50	<0.05
KK0412	<5	<0.2	4	<0.2	90	0.45
KK0413	<5	<0.2	10	<0.2	90	1.20
KK0414	<5	<0.2	3	<0.2	70	0.20
KK0415	<5	<0.2	5	<0.2	60	0.15
KK0416	<5	<0.2	3	<0.2	40	0.05
KK0417	<5	<0.2	3	<0.2	40	0.10
KK0418	<5	<0.2	3	<0.2	50	0.50
KK0419	<5	<0.2	2	<0.2	60	0.10